

**Politechnika Warszawska**

W Y D Z I A Ł M A T E M A T Y K I  
I N A U K I N F O R M A C Y J N Y C H



# Praca dyplomowa inżynierska

na kierunku Informatyka

Interfejs użytkownika do manualnego obrysu struktur  
oraz wybranych anormalności w obrazach medycznych  
z wykorzystaniem tabletu graficznego

**Łukasz Garstecki**

Numer albumu 276857

**Tomasz Świerczewski**

Numer albumu 276915

Promotor

dr inż. Magdalena Jasionowska

WARSZAWA 2019

.....  
podpis promotora

.....  
podpisy autorów

## **Streszczenie**

Niniejszy dokument prezentuje pracę dyplomową inżynierską pod tytułem "Interfejs użytkownika do manualnego obrysu struktur oraz wybranych anormalności w obrazach medycznych z wykorzystaniem tabletu graficznego". Celem realizowanym przez autorów pracy jest stworzenie narzędzia informatycznego pozwalającego na manualne oraz półautomatyczne obrysowywanie obrazów medycznych. Zakres pracy obejmuje omówienie: standardu DICOM, przegląd aplikacji dostępnych na rynku, pozwalających na przeglądanie i wykonywanie obrysów na obrazach medycznych DICOM, architektury tworzonego systemu i eksperymentów przeprowadzonych w trakcie tworzenia narzędzia.

Zastosowana architektura umożliwia jednoczesne korzystanie z narzędzia przez wielu użytkowników. Opracowany na potrzeby generowania obrysów algorytm wykorzystuje operator Canny'ego oraz algorytm wyszukiwania najkrótszych ścieżek w grafie. Obliczane przez system statystyki dotyczące obrysowanych obszarów mogą posłużyć w przyszłości jako parametry wejściowe do metod automatycznego wykrywania podobnych struktur, dla których obrys są wykonane.

**Słowa kluczowe:** interfejs użytkownika, tablet graficzny, obrazy medyczne, DICOM, obrys, statystyki danych obrazowych, system informatyczny, interfejs REST API, wykrywanie krawędzi, generowanie obrysów



## **Abstract**

The following document describes bachelor's thesis on "User interface for graphic-tablet interactions for contouring of structures and selected anomalies in medical images". The goal of authors' is to create a digital tool that allows to manually draw and semi-automatically generate contours on medical images. The topics discussed include: discussion of DICOM standard, analysis of state-of-the-art systems and tools used to viewing and creating contours on DICOM medical images, system's architecture and experiments conducted simultaneously with the creation of the tool.

The architecture used enables simultaneous use of the tool by many users. The algorithm developed for the purpose of generating contours uses Canny's Operator and the algorithm of searching the shortest path in the graph. The statistics calculated by the system regarding the areas limited by contours can be used in future as input parameters for methods of automatic detection of similar structures for which contours have been made.

**Keywords:** user interface, graphics tablet, medical images, DICOM, contour, statistics of image data, IT system, REST API interface, edge detection, contour generation



Warszawa, dnia .....

#### Oświadczenie

Oświadczam, że moją część pracy inżynierskiej (zgodnie z podziałem zadań opisanym we wstępie) pod tytułem „Interfejs użytkownika do manualnego obrysu struktur oraz wybranych anormalności w obrazach medycznych z wykorzystaniem tabletu graficznego”, której promotorem jest dr inż. Magdalena Jasionowska, wykonałem samodzielnie, co poświadczam własnoręcznym podpisem.

.....



# **Spis treści**

<b>Wstęp</b>	<b>11</b>
<b>1 Wprowadzenie</b>	<b>13</b>
1.1 Zagdanienia medyczne związane z aplikacją . . . . .	13
1.2 Podział prac . . . . .	13
<b>2 Stan wiedzy</b>	<b>15</b>
2.1 Przegląd istniejących rozwiązań . . . . .	15
2.1.1 Przeglądarki DICOM . . . . .	15
2.1.2 Serwer z bazą plików DICOM . . . . .	16
2.1.3 Podsumowanie . . . . .	17
2.2 Proponowane rozwiązanie . . . . .	18
<b>3 Opis autorskiego narzędzia informatycznego</b>	<b>22</b>
3.1 Specyfikacja wymagań . . . . .	22
3.1.1 Opis biznesowy . . . . .	22
3.1.2 Wymagania funkcjonalne . . . . .	23
3.1.3 Wymagania niefunkcjonalne . . . . .	24
3.2 Architektura rozwiązania . . . . .	26
3.2.1 Interfejs użytkownika . . . . .	27
3.2.2 Serwer obrazów Orthanc . . . . .	27
3.2.3 Serwer obrysów i obliczeń . . . . .	27
3.3 Moduł obrazów manualnych . . . . .	28
3.4 Opracowany algorytm półautomatyczny . . . . .	28
3.4.1 Wykrycie krawędzi na bitmapie . . . . .	29
3.4.2 Stworzenie grafu z bitmapy . . . . .	31
3.4.3 Zapewnienie spójności grafu . . . . .	34
3.4.4 Wyszukanie najkrótszych ścieżek w grafie . . . . .	35
3.4.5 Optymalizacja . . . . .	38

3.5 Moduł obliczeń statystyk . . . . .	39
<b>4 Przeprowadzone eksperymenty</b>	<b>42</b>
4.1 Zbiór testowy . . . . .	42
4.2 Analiza działania aplikacji . . . . .	43
4.3 Wydajność algorytmu półautomatycznego . . . . .	43
4.4 Analiza wyników i wnioski . . . . .	49
<b>5 Podsumowanie</b>	<b>52</b>
<b>Bibliografia</b>	<b>55</b>
<b>Instrukcja instalacji</b>	<b>59</b>
<b>Instrukcja użytkowania</b>	<b>61</b>
<b>Wykaz symboli i skrótów</b>	<b>81</b>
<b>Spis rysunków</b>	<b>83</b>
<b>Spis tabel</b>	<b>83</b>
<b>Spis zawartości załączonej płyty CD</b>	<b>85</b>
<b>Spis załączników</b>	<b>86</b>

# **Wstęp**

W niniejszym rozdziale przedstawiono cel pracy inżynierskiej wraz z motywacją, która kierowała autorami przy wyborze właśnie tego tematu.

## **Cel pracy**

Celem niniejszej pracy inżynierskiej było stworzenie narzędzia informatycznego umożliwiającego tworzenie obrysów plików medycznych. Użytkownik może otwierać dane obrazowe w formacie DICOM i dokonywać obrysów manualnych lub półautomatycznych wybranych struktur lub anormalności. W przypadku obrysów manualnych użytkownik może tworzyć kilka obrysów jednocześnie w celu zaznaczania anormalności w konkretnej tkance. Użytkownik może korzystać z tabletu graficznego w celu wygodniejszego rysowania obrysów.

Został stworzony algorytm półautomatyczny do tworzenia obrysów półautomatycznych. Jest to metoda półautomatyczna, ponieważ jest wspomagana przez człowieka, który wybiera punkty na obrazie medycznym. Algorytm ma za zadanie interpolować punkty wybrane przez użytkownika. Do algorytmu półautomatycznego generowania obrysów zostało zastosowane rozwiązanie inspirowane wieloma algorytmami przetwarzania obrazów medycznych. W szczególności został użyty operator Canny'ego, a następnie dane przetwarzanie są poprzez algorytmy grafowe. Została przeprowadzona validacja, czy ta metoda sprawdza się w celu usprawnienia rysowania obrysów manualnych.

Zaproponowane przez autorów rozwiązanie opiera się na aplikacji przeglądarkowej i serwera przechowującego obrysy. To rozwiązanie pozwala na użycie sieciach lokalnych, gdzie użytkownik lub użytkownicy na dowolnej stacji roboczej mogą wykonywać obrysy, które zapisywane są na wspólnym dla wszystkich użytkowników serwerze.

## **Motywacja**

W czasach gwałtownego rozwoju sztucznej inteligencji jest ona stosowana prawie do każdej dziedziny z szeroko pojętej nauki. Jedną z takich dziedzin jest medycyna. Próba odnajdywania we wczesnym stadium różnych zmian może ocalić wiele ludzkich istnień. Obecnie trwają prace nad automatycznymi sposobami wykrywania takich zmian na obrazach medycznych.

W celu interpretowania obrazów medycznych potrzebna jest wiedza anatomiczna, jak i radiologiczna. Z tego powodu potrzeba stworzyć narzędzie, które w wygodny sposób pozwoli nam wykonywać obrysów wybranych narządów i anormalności medycznych. Na podstawie wykonanych obrysów będzie można w przyszłości tworzyć zaawansowane narzędzia do automatycznej klasyfikacji.

# **1. Wprowadzenie**

Rozdział ten stanowi wstęp do medycyny pod kątem przetwarzania obrazów medycznych. Wyjaśniono w nim, co to jest plik DICOM i jakie badania są reprezentowane tym formatem pliku. Ponadto opisano podział prac wykonanych w trakcie tworzenia narzędzia informatycznego.

## **1.1. Zagadnienia medyczne związane z aplikacją**

DICOM (ang. Digital Imaging and Communications in Medicine) [17] to norma opracowana dla potrzeb wymiany i interpretacji danych medycznych, które są najczęściej obrazami medycznymi. W postaci pliku DICOM mogą być zapisywane obrazy tomografii komputerowej, obrazowania metodą rezonansu magnetycznego, cyfrowej angiografii subtrakcyjnej, zdjęcia rentgenowskie, mammografia i wiele innych badań. Do wad tego standardu należy różnorodność metod implementacji. Powoduje to czasem sytuacje, w których nie można wyświetlić pliku na sprzęcie innego producenta, ze względu na różnice w sposobie implementacji. W takich sytuacjach należy ręcznie modyfikować pliki DICOM, aby mogły być poprawnie obsłużone. Z tego powodu zapis obrysu do pliku DICOM jest utrudniony — nie istnieją obecnie narzędzia umożliwiające odczytanie zapisanego obrysu. Ponadto ilość tagów zawartych w pliku DICOM stanowi barierę w sprawnym korzystaniu z tak zapisanych wyników badań.

Obecnie na rynku istnieje wiele aplikacji pozwalających na przeglądanie plików DICOM. Wśród nich nie istnieje aplikacja uniwersalna, w pełni obsługująca wszystkie badania diagnostyczne.

DICOM jest standardem pliku obrazu medycznego, jednakże pojawiają się istotne problemy z jego użytkowaniem.

## **1.2. Podział prac**

Ze względu na złożoność realiowanego narzędzia dokonano podziału zdań pomiędzy członków zespołu.

Łukasz Garstecki wykonał:

- interfejs użytkownika w aplikacji przeglądarkowej,
- obsługę wczytywania plików medycznych do aplikacji przeglądarkowej,
- moduł anonimizacji danych pacjenta i modyfikacji plików medycznych,
- narzędzie do rysowania obrysu manualnego,
- narzędzie do wybierania punktów obrysu półautomatycznego,
- narzędzie do wizualizacji stworzonych obrysów przez użytkownika.

Tomasz Świerczewski wykonał:

- serwer zapisujący i generujący obrys wraz z bazą danych,
- algorytm germerujący obrys półautomatyczne,
- REST API, udostępniające obrys,
- moduł statystyk,
- testy aplikacji.

## **2. Stan wiedzy**

W poniższym rozdziale zostały przedstawione istniejące na rynku aplikacje o funkcjonalnościach określonych w celu pracy. Opisano wymagania zarówno funkcjonalne jak i niefunkcjonalne jakie powinien spełniać. Autorski system do tworzenia obrysów na obrazach w formacie DICOM struktur anatomicznych czy zmian patologicznych powinien spełniać wymagania zarówno lekarzy jak i inżynierów medycznych, wykorzystujących to narzędzie w pracy badawczej i naukowej. Przedstawiono również proponowane rozwiązanie postawionych przed systemem wymagań.

### **2.1. Przegląd istniejących rozwiązań**

Obrys to krzywe zamknięte naniesione na obraz, w celu oznaczenia wewnętrznej części. Obrysów można tworzyć manualnie (użytkownik wybiera wszystkie punkty obrysu), lub półautomatycznie (użytkownik wybiera kilka punktów, a algorytm łączy je na podstawie analizy obrazu). Obie metody są niedoskonałe, gdyż często to użytkownik musi skorygować obrys, ze względu na różnorodność obrazów medycznych wynikającą z różnych systemów obrazowania, czy też różnorodnej tekstury tkanki obrazowanej.

#### **2.1.1. Przeglądarki DICOM**

Istnieje wiele rozwiązań umożliwiających wykonywanie obrysów przy użyciu przeglądarki. W tej pracy opisano szczegółowo dwie wybrane aplikacje.

Pierwsze z nich to aplikacja OHIF Viewer oparta o biblioteki Cornerstone.

Cornerstone Core [8] to biblioteka, która umożliwia przetwarzanie obrazów medycznych z wykorzystaniem elementu canvas z języka HTML5. Biblioteka udostępnia interfejs do wyświetlania obrazów medycznych pozwalający na zarządzanie wyświetleniem zdjęcia. Podstawowe funkcjonalności obsługiwane przez bibliotekę to:

- przybliżanie i oddalenie obrazu,
- obrót obrazu,
- przesuwanie obrazu w wyświetlanym komponencie,

- zmiana jasności wyświetlanego obrazu,
- mapowanie kolorów,
- interpolacja pikseli w obrazie (dla obrazów o niskiej rozdzielczości).

Ponadto twórcy biblioteki Cornerstone Core stworzyli bibliotekę Cornerstone Tools, która korzysta z biblioteki Cornerstone Core i poza funkcjonalnościami Cornerstone Core udostępnia opisane niżej funkcjonalności potrzebne lekarzom do analizy badań pacjentów, takie jak:

- mierzenie odległości w linii prostej na obrazie z podaniem rzeczywistych wartości,
- oznaczanie obszarów przy pomocy prostokątów oraz elips,
- oznaczanie niewielkich zmian w postaci małego okręgu,
- mierzenie kątów na podstawie trzech podanych przez użytkownika punktów.

Przykładowym projektem korzystającym z bibliotek Cornerstone jest OHIF Viewer. Aplikacja pozwala na wykorzystanie większości możliwości udostępnianych przez biblioteki Cornerstone. Przykładowe użycie aplikacji zostało przedstawione na Rysunku 2.1.

Niestety aplikacja nie umożliwia wykonywania obrysów manualnych, ani półautomatycznych, jak również nie pozwala na zapisanie naniesionych na obraz oznaczeń.

Drugim rozwiązaniem działającym pozwalającym na pracę z plikami DICOM w przeglądarce internetowej to DICOM Web Viewer.

Aplikacja DICOM Web Viewer (DWV) [10] jest również przykładem aplikacji przeglądarkowej służącej do przetwarzania obrazów DICOM, z wygodnym interfejsem automatycznego i półautomatycznego obrysowywania obszarów zaznaczonych przez użytkownika na obrazie. Przykładowy obrys wykonany przy użyciu aplikacji DWV przedstawiono na Rysunku 2.3.

Poza tym aplikacja udostępnia:

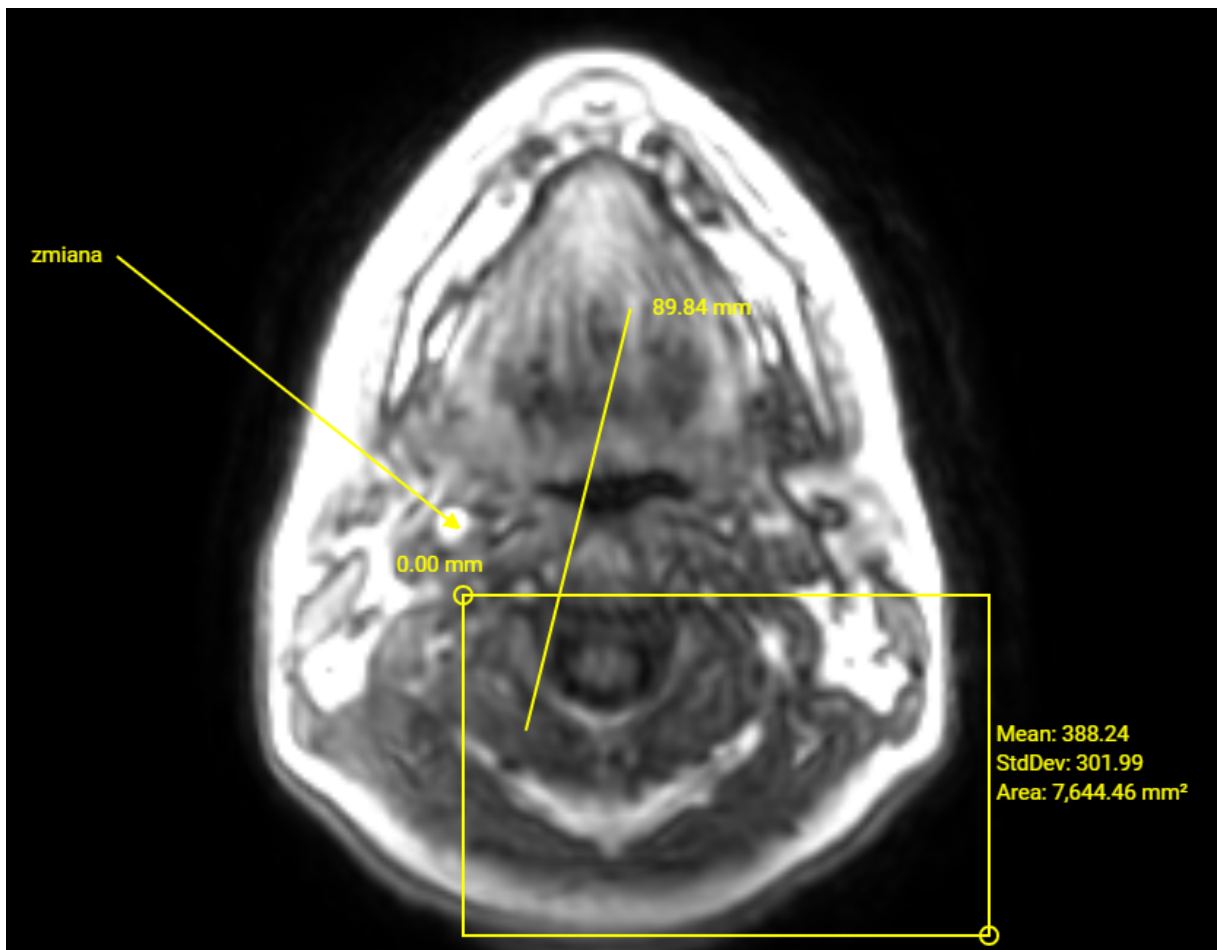
- przybliżanie i oddalanie obrazu,
- przesuwanie obrazu w wyświetlanym komponencie,
- zmiana jasności wyświetlanego obrazu,
- mierzenie odległości w linii prostej na obrazie z podaniem rzeczywistych wartości,
- oznaczanie obszarów przy pomocy prostokątów oraz elips.

Aplikacja nie pozwala na wykonywanie manualnych obrysów poprzez samodzielne poruszanie kursorem po obrazie.

### **2.1.2. Serwer z bazą plików DICOM**

Orthanc [19] to serwer plików DICOM, który umożliwia łatwe przechowywanie, zarządzanie oraz dostęp do plików medycznych DICOM. Ponadto Orthanc udostępnia REST API [20], które

## 2.1. PRZEGŁĄD ISTNIEJĄCYCH ROZWIAZAŃ



Rysunek 2.1: Przykład użycia aplikacji OHIF Viewer — oznaczono: prostokątny obszar, dla którego obliczone zostały wybrane statystyki; odcinek, dla którego otrzymano odległość jednostkach rzeczywistych; wskaźnik, wskazujący na zmianę, posiadający etykietę tekstową

umościwia przeglądanie wgranych na serwer plików DICOM podzielonych na kategorie takie jak pacjenci, badania i serie.

Serwer Orthanc udostępnia prosty interfejs webowy, dzięki któremu możliwe jest wgrywanie nowych plików (interfejs wgrywania plików przedstawiono na Rysunku 2.4), przeglądanie zapisanych plików w szczególności tagów (Rysunek 2.5) oraz podglądarkowanie obrazów (Rysunek 2.2). Interfejs webowy nie zapewnia żadnej metody tworzenia na wybranym obrazie, ale pozwala na przełączanie pomiędzy kolejnymi obrazami za pomocą klinięcia lewym przyciskiem myszy w prawą część podglądu obrazu.

### 2.1.3. Podsumowanie

Istniejące rozwiązania przeglądarkowe nie zapewniają wygodnego interfejsu użytkownikowi do manualnego obrysowywania interesujących go fragmentów obrazów medycznych przy użyciu

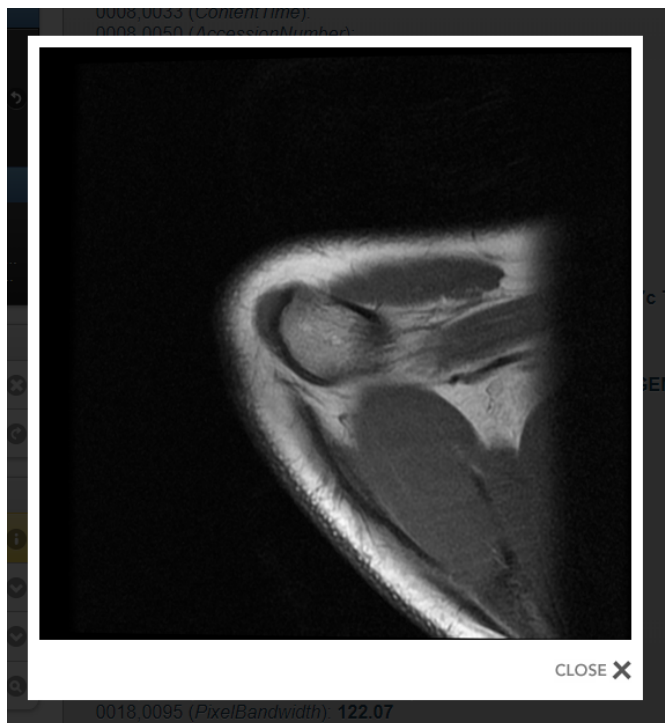
tabletu graficznego. Ponadto żadne z narzędzi nie przechowuje utworzonych w sposób manualny ani wygenerowanych półautomatycznie obrysów.

## 2.2. Proponowane rozwiązanie

W rozwiążaniu zdecydowano się skorzystać z serwera Orthanc jako bazy przechowującej pliki DICOM. Przy decyzji miało znaczenie przede wszystkim to, że jest to narzędzie bezpłatne. Ponadto udostępniane przez API serwera funkcjonalności pozwalające na zarządzanie i przeglądanie zapisanych plików są wystarczające dla realizowanego systemu.

Poza serwerem Orthanc stworzono serwer w technologii .NET Core [12] wspomagający interfejs użytkownika, który pozwala na przeprowadzanie czasochłonnych aplikacji poza interfejsem użytkownika. Wybrano tę technologię ze względu na to, że jest ciągle rozwijana, podobnie jak Orthanc .NET Core jest rozwiązaniem darmowym i nie ustępuje jakością w stosunku do Java EE [11]. Podstawowymi zadaniami tego serwera było przechowywanie wykonanych przez użytkownika obrysów manualnych, generowanie i przechowywanie obrysów półautomatycznych oraz obliczanie statystyk związanych z zapisanymi obrysami.

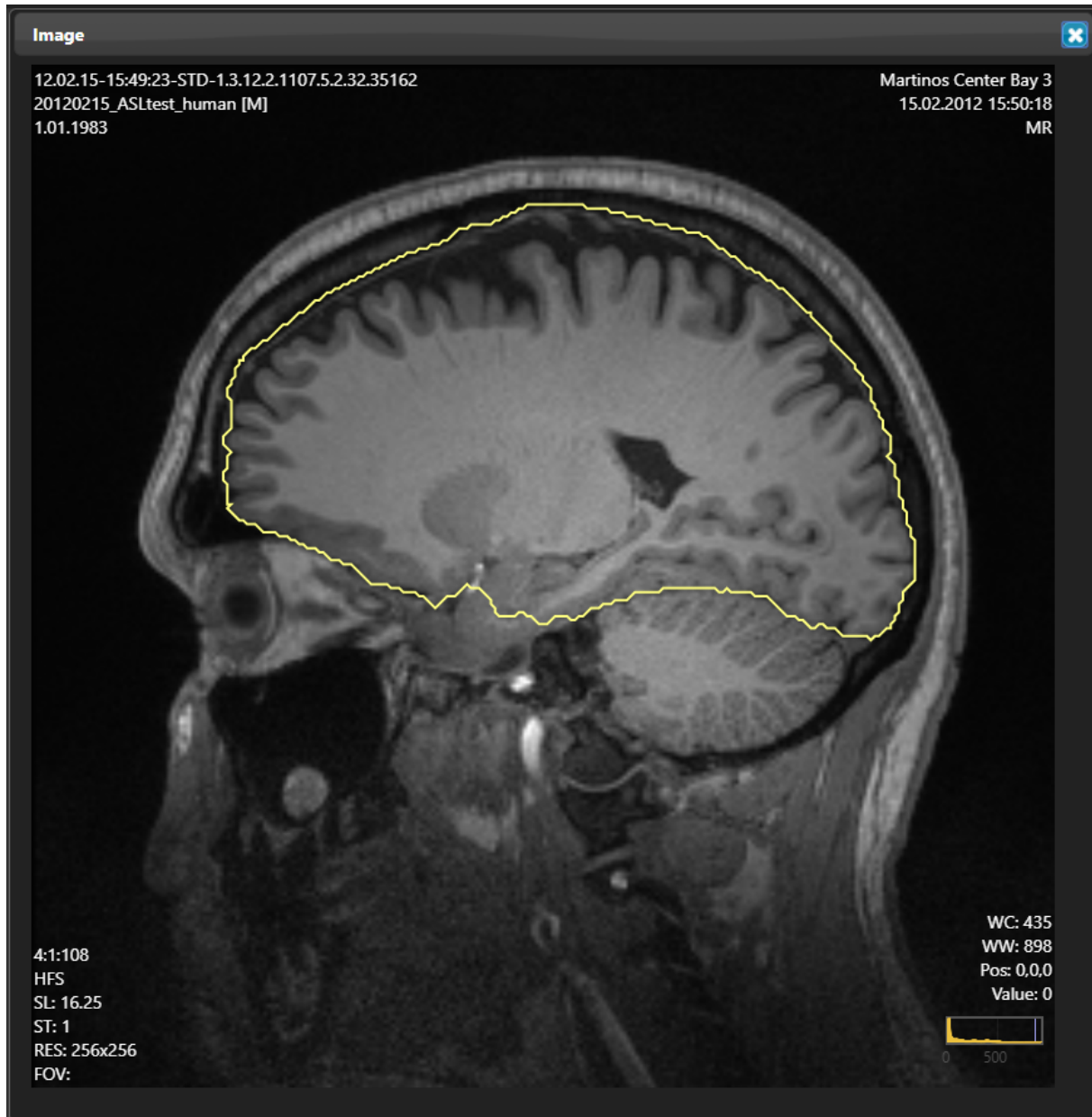
Jako interfejs użytkownika wykorzystano bibliotekę ReactJS [7] w połączeniu z biblioteką Redux[1]. Zdecydowano się na tę technologię ze względu na bardzo dobre wsparcie techniczne



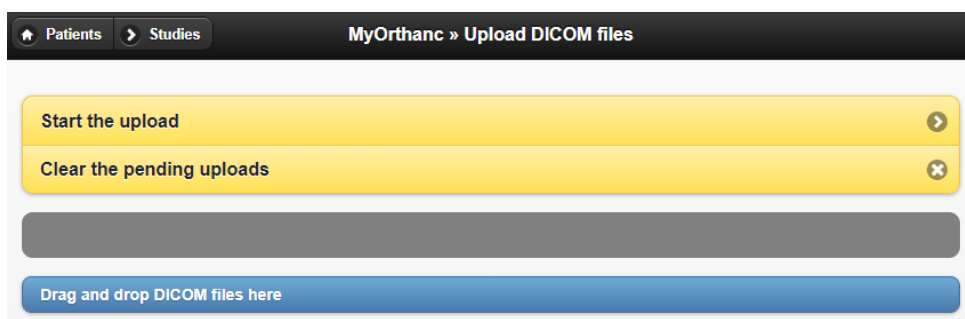
Rysunek 2.2: Podgląd obrazu DICOM przy użyciu interfejsu przeglądarkowego Orthanc

## 2.2. PROPONOWANE ROZWIĄZANIE

i elastyczność [18]. Wybranie tej technologii pozwoliło na stworzenie aplikacji przeglądarkowej pozwalającej na generowanie obrysów manualnych przy użyciu myszy lub tabletu graficznego, wybieranie punktów, z których generowane będą obrysy półautomatyczne, oglądanie wcześniej wygenerowanych i zapisanych bryków oraz wyświetlanie statystyk dotyczących wykonanego obrysu. Interfejs inspirowany jest podglądem obrazu w aplikacji DWV, ale działanie półautomatycznego obrysu zostało zrealizowane inaczej — obrys nie jest generowany na bieżąco, lecz na życzenie użytkownika. Wybrane przez niego punkty na obrazie wysyłane są do serwera i na obrazie wyświetlany jest wynik półautomatycznego dopasowania obrysu.



Rysunek 2.3: Przykład użycia aplikacji DWV - obrys półautomatyczny (Livewire)



Rysunek 2.4: Interfejs wgrywania plików DICOM do serwera Orthanc

## 2.2. PROPONOWANE ROZWIĄZANIE

The screenshot shows the MyOrthanc web interface with the following navigation path: Home > Patients > Studies > MyOrthanc > Patient > Study > Series > Instance.

**Patient:**

- Anonymized1
- PatientBirthDate: ?
- PatientID: 22beecc0-01f1-4137-9c55-30b2700...
- PatientSex: ?

**Study:**

- AccessionNumber:
- ReferringPhysicianName:
- StudyDate: ?
- StudyID:
- StudyInstanceUID: 1.2.276.0.7230010.3.1.2.40...

**Series:**

- Status: Inconsistent
- CardiacNumberOfImages: 0
- Modality: MR
- SeriesInstanceUID: 1.2.276.0.7230010.3.1.3.40...
- SeriesNumber: 4

**Instance:**

- Instance: 1
- ImageOrientationPatient: 0.98113910.00113118L0.193302L...
- SOPInstanceUID: 1.2.276.0.7230010.3.1.4.405769507.45...

**Interact:**

- Delete this instance
- Send to DICOM modality

**Access:**

- Before anonymization
- Download the DICOM file
- Download the JSON file

**DICOM Tags:**

Show tag description

```

0002,0003 (MediaStorageSOPInstanceUID): 1.2.276.0.7230010.3.1.4.405769507.4576.1544291455.612
0008,0000 (GenericGroupLength): 824
0008,0005 (SpecificCharacterSet): ISO_IR_100
0008,0008 (ImageType): ORIGINAL|PRIMARY|OTHER
0008,0016 (SOPClassUID): 1.2.840.10008.5.1.4.1.1.4
0008,0018 (SOPInstanceUID): 1.2.276.0.7230010.3.1.4.405769507.4576.1544291455.612
0008,0020 (StudyDate):
0008,0023 (ContentDate):
0008,0030 (StudyTime):
0008,0033 (ContentTime):
0008,0050 (AccessionNumber):
0008,0060 (Modality): MR
0008,0070 (Manufacturer): GE MEDICAL SYSTEMS
0008,0090 (ReferringPhysicianName):
0008,1090 (ManufactureModelName): Signa HDxt
0008,1140 (ReferencedImageSequence): []
0010,0000 (GenericGroupLength): 98
0010,0010 (PatientName): Anonymized1
0010,0020 (PatientID): 22beecc0-01f1-4137-9c55-30b27008433d
0010,0030 (PatientBirthDate):
0010,0040 (PatientSex):
0012,0062 (PatientIdentityRemoved): YES
0012,0063 (IdentificationMethod): Orthanc 1.4.2 - PS 3.15-2017c Table E.1-1 Basic Profile
0018,0000 (GenericGroupLength): 490
0018,0020 (ScanningSequence): SE
0018,0021 (SequenceVariant): SK1OSP
0018,0022 (ScanOptions): FAST_GEMS|SAT_GEMS|NPW\TRF_GEMS|FILTERED_GEMS|SP
0018,0023 (MRAcquisitionType): 2D
0018,0025 (AngioFlag): N
0018,0050 (SliceThickness): 3
0018,0080 (Repetition Time): 644
0018,0081 (Echo Time): 9.568
0018,0083 (Number Of Averages): 1
0018,0084 (Imaging Frequency): 63.85589
0018,0085 (Imaged Nucleus): 1H
0018,0086 (Echo Numbers): 1
0018,0087 (Magnetic Field Strength): 1.5
0018,0088 (Spacing Between Slices): 4
0018,0091 (Echo Train Length): 4

```

Rysunek 2.5: Podgląd tagów pliku DICOM przy użyciu interfejsu przeglądarkowego Orthanc

### **3. Opis autorskiego narzędzia informatycznego**

W poniższym rozdziale zawarto dokumentację techniczną i biznesową tworzonego systemu. Przedstawiono w szczególności: wymagania funkcjonalne i niefunkcjonalne, architekturę, zastosowane metody półautomatycznego obrysu oraz metody obliczania statystyk obrysów.

#### **3.1. Specyfikacja wymagań**

Przed stworzeniem systemu zostały zgromadzone dane dotyczące wymagań stawianych przed tworzonym systemem. Zostały one przedstawione w postaci zgodnej z wymaganiami stawianymi w inżynierii oprogramowania w rozdziałach 3.1.1. - 3.1.3. Wymagania były gromadzone na podstawie wywiadów przeprowadzonych z opiekunem naukowym tej pracy dyplomowej, z lekarzami i ze studentami Warszawskiego Uniwersytetu Medycznego.

##### **3.1.1. Opis biznesowy**

Celem projektu jest stworzenie interfejsu przyjaznego użytkownikowi, który umożliwi przeglądanie plików DICOM, a także przeprowadzanie na tych plikach obrysów. Prace obejmują stworzenie aplikacji webowej, która udostępnia użytkownikowi interfejs komunikujący się z bazą danych Orthanc. Ponadto prace obejmują stworzenie serwera odpowiedzialnego za przechowywanie wygenerowanych przez użytkownika obrysów oraz wyznaczanie obrysów półautomatycznych.

Do podstawowych funkcjonalności systemu zaliczają się:

- generowanie obrysu manualnego.
- generowanie obrysu półautomatycznego na podstawie punktów wybranych przez użytkownika.
- zapisywanie wygenerowanych obrysów.
- anonimizacja<sup>1</sup> danych zapisanych w strukturze pliku DICOM.

---

<sup>1</sup>Anonimizacja (ang. anonymization) — operacja mająca na celu usunięcie z danych informacji o pacjentach, które pozwoliłyby na identyfikację danych z tożsamością pacjenta. Są to między innymi: imiona, nazwisko, pesel. Inne tłumaczenia słowa anonymization — utajnianie, usuwanie danych niejawnych. Z uwagi na fakt, że te tłumaczenia nie oddają dobrze kontekstu, zastosowano kalkę językową.

### **3.1. SPECYFIKACJA WYMAGAŃ**

#### **3.1.2. Wymagania funkcjonalne**

Nieodłącznym elementem inżynierii oprogramowania przy próbie dokumentacji określonego produktu lub usługi, są wymagania funkcjonalne i niefunkcjonalne. Te pierwsze opisują funkcje i możliwości, które system powinien realizować. Zostały przygotowane wymagania funkcjonalne dla tworzonego systemu. Przedstawiono je poniżej w postaci historii użytkownika (ang. user stories), czyli czynności jakie może chcieć wykonać użytkownik tego systemu.

##### **1. Jako użytkownik chcę wczytać obraz DICOM.**

Użytkownik może wybrać obraz w menu bocznym, w którym ma możliwość wyboru pacjenta, badania oraz serii. Wybranie serii skutkuje wyświetleniem pierwszego obrazu DICOM z tej serii.

##### **2. Jako użytkownik chcę zmienić obraz w serii przy użyciu rolki myszy.**

Po umieszczeniu kurSORA na obrazie, przewijanie rolką myszy do góry powoduje zmianę wyświetlanego obrazu na kolejny obraz w serii. Gdy przewijamy rolką myszy do góry na ostatnim obrazie w serii wyświetlany obraz nie zmienia się. Analogicznie przewijanie rolką myszy w dół powoduje zmianę wyświetlanego obrazu na poprzedni obraz w serii, a przewijanie w dół rolką myszy na pierwszym obrazie w serii nie powoduje zmiany obrazu.

##### **3. Jako użytkownik chcę wykonać obrys przy użyciu tabletu graficznego.**

Po umieszczeniu kurSORA na obrazie sterowanym przez tablet graficzny, użytkownik prowadzi kurSOR po obrazie wykonując obrys bez odrywania końcówki rysika od podkładki. Jeżeli użytkownik nie zakończy obrysu dokładnie w punkcie, w którym go rozpoczął, obrys powinien zakończyć się linią prostą, łączącą punkt końcowy z punktem początkowym.

##### **4. Jako użytkownik chcę wygenerować obrys na podstawie wybranych punktów.**

Po umieszczeniu kurSORA na obrazie użytkownik może wybierać punkty, na podstawie których zostanie wygenerowany obrys, poprzez wcisnięcie lewego przycisku myszy w miejscach, w których chce, aby znalazły się punkty. Użytkownik może zobaczyć efekt wygenerowanego przez system obrysu.

##### **5. Jako użytkownik chcę edytować listę punktów, z której wygenerowany zostanie obrys.**

Użytkownik może usunąć wcześniej wybrany punkt po umieszczeniu nad nim kurSORA i wcisnięciu lewego przycisku myszy. Użytkownik może dodać nowy punkt do listy punktów poprzez wcisnięcie lewego przycisku myszy w miejscu, w którym chce wstawić punkt.

### 3. OPIS AUTORSKIEGO NARZĘDZIA INFORMATYCZNEGO

#### 6. Jako użytkownik chcę wybrać kolor obrysu.

Użytkownik wybiera kolor z palety kolorów lub może zdefiniować własny kolor poprzez podanie kodu RGB koloru, który chce wybrać.

#### 7. Jako użytkownik chcę zapisać obrys.

Po wykonaniu obrysu manualnego lub wybraniu listy punktów do wygenerowania obrysu półautomatycznego, użytkownik wybiera nazwę obrysu i zapisuje obrys w systemie.

#### 8. Jako użytkownik chcę obejrzeć zapisany obrys.

Użytkownik wybiera z listy obrysów zapisany obrys i przegląda obrys nanesiony na obraz, na którym został wykonany.

#### 9. Jako użytkownik chcę zobaczyć statystyki dotyczące obrysu.

Użytkownik wybiera z listy obrysów zapisany obrys i przegląda statystyki obliczone na podstawie zapisanego obrysu. Do statystyk zalicza się obwód obrysu, pole obrysu, histogram obrazu na obszarze obrysu oraz liczba pikseli wewnątrz obrysu.

#### 10. Jako użytkownik chcę zobaczyć jednocześnie dowolną liczbę zapisanych w systemie obrysów na jednym obrazie DICOM.

Użytkownik wybiera poprzez kliknięcie lewym przyciskiem myszy na nazwie obrysu znajdującej się na liście obrysów. Wybrane obrysów wyświetlane są jednocześnie na przeglądany przez użytkownika zdjęciu. Użytkownik może wyłączyć podgląd wcześniej wybranego obrysu poprzez ponowne wcisnięcie lewego przycisku myszy na nazwie obrysu na liście po prawej stronie. Na zdjęciu wyświetlane są jedynie obrysów wykonane na tym obrazie.

#### 11. Jako użytkownik chcę zanomizować dane pacjenta zawarte w pliku DICOM.

Użytkownik może zanomizować pacjenta, gdy przegląda jego obraz. Użytkownik może anonimizować imię i nazwisko pacjenta, datę urodzenia pacjenta oraz płeć pacjenta poprzez nadanie nowych wartości lub poprzez usunięcie poprzedniej wartości i pozostawienie pustych pól w formularzu.

#### 3.1.3. Wymagania niefunkcjonalne

Drugim rodzajem wymagań są wymagania niefunkcjonalne. Opisują one kryteria osądzenia działania systemu pod kątem jakościowym. Założone wymagania niefunkcjonalne zostały przedstawione w Tabeli 3.1.

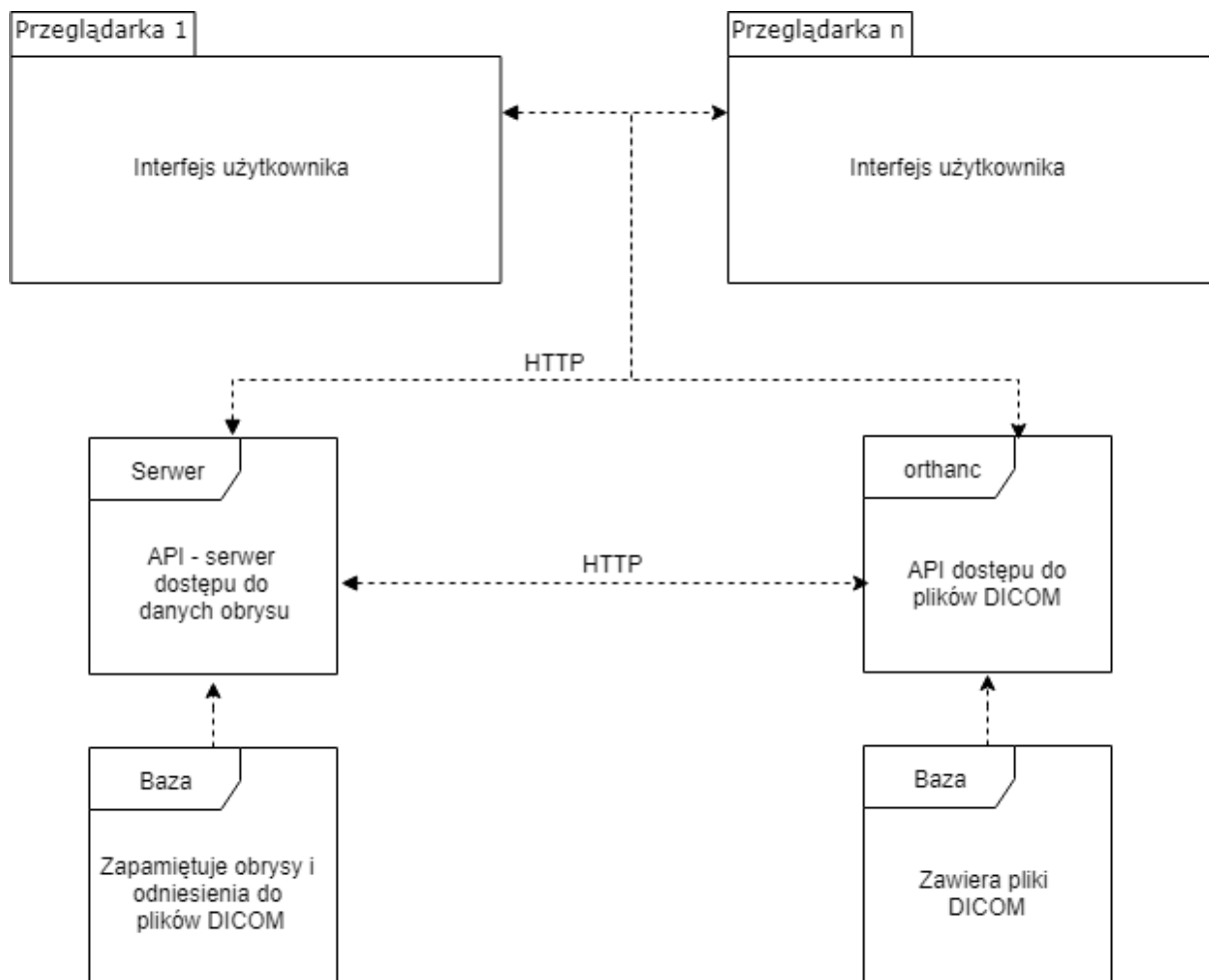
### 3.1. SPECYFIKACJA WYMAGAŃ

Tablica 3.1: Spis wymagań niefunkcjonalnych

Obszar wymagań	Opis
Użyteczność (ang. Usability)	Każda funkcjonalność aplikacji dostępna dla użytkownika musi mieścić się na pojedynczym ekranie przy rozdzielcości 1920x1080 i czcionce nie mniejszej niż 12pt.
	Aplikacja powinna udostępniać pobranie zapisanych obrysów przy użyciu serwisu REST.
Niezawodność (ang. Reliability)	Aplikacja ma być dostępna 24h w ciągu doby. Dopuszczalny jest brak działania aplikacji w dowolnym momencie przez okres nie dłuższy niż przez 12h. Po przerwie w działaniu aplikacja musi być dostępna przez kolejne 24h bez utrudnień.
Wydajność (ang. Performance)	Aplikacja powinna pobierać dane zewnętrzne w postaci pliku DICOM (około 20MB) nie dłużej niż 5 sekund.
	Aplikacja powinna generować obrys półautomatyczny i zapisywać obrys do systemu w czasie nie dłuższym niż 30 sekund.
	Aplikacja powinna reagować na działanie użytkownika (z wyłączeniem generowania obrysu półautomatycznego i zapisu obrysu do systemu) w czasie nie dłuższym niż 1 sekunda.

### 3.2. Architektura rozwiązania

Na Rysunku 3.1 przedstawiono architekturę autorskiego systemu.



Rysunek 3.1: Diagram UML przedstawiający architekturę autorskiego systemu

Architektura pozwala na połączenie z serwerem plików DICOM (Orthanc) oraz serwerem obrysów dowolnej liczby klientów korzystających z przeglądarki. Algorytmy zapisu obrysów, generowania obrysów, obliczania statystyk oraz anonimizacji plików są od siebie niezależne i mogą zostać zrównoleglane — ograniczeniem jest tutaj moc obliczeniowa maszyny na której uruchomiony jest serwer. Niemożliwe jest zwiększenie wydajności poprzez zwiększenie liczby instancji serwera. Dopuszczalne jest takie rozwiązanie, gdyż planowana liczba użytkowników jednocześnie korzystających z aplikacji to nie więcej niż 20 osób. Możliwości zwiększenia skalowalności w kontekście obliczeniowej zostało opisane w rozdziale 5.2.

## 3.2. ARCHITEKTURA ROZWIAZANIA

### 3.2.1. Interfejs użytkownika

Kluczowym elementem stworzonego systemu jest interfejs użytkownika napisany w języku skryptowym JavaScript przy użyciu biblioteki ReactJS. Udostępnia ona interfejs nawigujący po zapisanych w serwerze Orthanc plikach DICOM. Ponadto dla wyświetlanego obrazu udostępnia szczegóły dotyczące obrazu, badania i pacjenta. Umożliwia także wykonanie obrysu manualnego zrealizowanego przy użyciu biblioteki react-canvas-draw. W aplikacji zawarto również autorski interfejs do wyboru punktów do algorytmu półautomatycznego, wykonany z użyciem elementu canvas [16]. Podgląd zapisanych w systemie obrysów wraz z wyliczonymi dla nich statystykami jest możliwy z poziomu tworzenia obrysów oraz w osobnej zakładce, gdzie udostępniono widok, w którym użytkownik może oglądać jednocześnie wybrane przez siebie obrysy z listy obrysów na jednym obrazie.

### 3.2.2. Serwer obrazów Orthanc

Wyświetlane w interfejsie użytkownika obrazy DICOM oraz związane z nimi informacje przechowywane są przez serwer DICOM. Dostęp do zapisanych na serwerze danych jest możliwy poprzez udostępniane przez serwer API. Interfejs użytkownika wykorzystuje API poprzez protokół HTTP.

API serwera udostępnia dane obrazów posegregowanych względem kolejno: pacjentów, badań oraz serii. Wykorzystano je w interfejsie użytkownika do nawigacji pomiędzy obrazami. Dodatkowo dla każdego obrazu serwer udostępnia dane obrazowe, umożliwiając wyświetlenie obrazu w interfejsie użytkownika. Ponadto API udostępnia wszystkie tagi obrazu DICOM, co umożliwia wyświetlanie interfejsowi użytkownika informacji w nich zawartych.

### 3.2.3. Serwer obrysów i obliczeń

Kolejny kluczowy element stworzonego systemu to serwer obrysów i obliczeń. Udostępnia on API z obrysami, które zostało wykorzystane przez interfejs użytkownika. API zostało stworzone przy pomocy ASP.NET Core 2.2 [15] przy wykorzystaniu framework'a .NET Core 2.2 [14]. API oferuje 4 podstawowe operacje CRUD - utwórz, odczytaj, aktualizuj i usuń. W celu pobrania zdjęć medycznych serwer z API łączy się do bazy danych Orthanc. Informacje o obrysach, takie jak ID obrysu, tag, ID obrazu medycznego i typ obrysu (półautomatyczny lub manualny) są przechowywane w bazie danych Microsoft SQL Server. Pozostałe informacje, takie jak lista pikseli należących do obrysu, lista punktów w przypadku obrysu półautomatycznego i statystyki są przechowywane w plikach CSV. Te pliki są zapisywane w katalogu roboczym obok miejsca przechowywania plików źródłowych dla API.

### 3. OPIS AUTORSKIEGO NARZĘDZIA INFORMATYCZNEGO

Poza serwerem Orthanc interfejs korzysta także z serwera przechowującego obrysy, a także wykonującego obliczenia związane z generowaniem obrysów. Serwer ten jest dostępny dla interfejsu użytkownika poprzez API dostępne przez protokół HTTP. Pozwala ono na pobieranie zapisanych obrysów, zapisywanie obrysów manualnych i generowanie podglądu i zapis obrysu półautomatycznego.

#### 3.3. Moduł obrazów manualnych

Obrysy manualne generowane przez użytkowników zapisywane są przez serwer obrysów i obliczeń w postaci plików CSV na dysku serwera. W momencie zapisu obliczane są również statystyki dotyczące obrysowanej części obrazu.

W związku z tym, że obrazy wyświetlane w interfejsie są w innej rozdzielczości niż rzeczywisty rozmiar obrazu, obrysy przed zapisaniem zostają przeskalowane do faktycznych wymiarów obrazu. W przypadku obrazów o małych rozdzielczościach może spowodować to utratę dokładności obrysu, a w przypadku obrysów bardzo małych obszarów zdegradowanie obrysu do jednego piksela. Tego typu straty mogą wpływać na poprawność obliczanych statystyk jak również błędne wyświetlanie zapisanych obrysów w interfejsie użytkownika.

#### 3.4. Opracowany algorytm półautomatyczny

Opracowany algorytm półautomatyczny służy do wykrywania krawędzi na obrazie medycznym. Jest algorymem półautomatycznym, ponieważ jest wspomagany przez człowieka — użytkownika, który wybiera punkty na wyświetlanym obrazie. Te punkty są interpolowane przez algorytm półautomatyczny, zwany dalej algorymem.

Jako dane wejściowe do algorytmu uzyskujemy następujące informacje:

- identyfikator obrazu medycznego, na którym był wykonywany obrys.
- lista punktów wybranych przez użytkownika. Punkty te zostały wcześniej przeskalowane ze współrzędnych w aplikacji internetowej (aplikacji webowej, ang. web application) na współrzędne odpowiadające rozdzielczości obrazu medycznego.

Algorytm można podzielić na kilka ważnych etapów:

- wykrycie krawędzi na bitmapie,
- stworzenie grafu z bitmapy,

### 3.4. OPRACOWANY ALGORYTM PÓŁAUTOMATYCZNY

- zapewnienie spójności grafu,
- wyszukanie najkrótszych ścieżek w grafie.

Poniżej zostaną przedstawione dokładne rozwiązania dla każdego z tych kroków. Przed rozpoczęciem przetwarzania jest pobierany obraz medyczny o danym wcześniej identyfikatorze z serwera Orthanc. Stawi on podstawę do dalszej pracy algorytmu.

#### 3.4.1. Wykrycie krawędzi na bitmapie

Często na obrazach medycznych różnice w charakterystyce poziomów szarości pikseli reprezentujących interesujące nas obiekty są małe, nie są podane dodatkowe informacje o naturze obrazu. Problem opracowania uniwersalnego algorytmu wykrywania krawędzi jest problemem trudnym. Dla wielu algorytmów można znaleźć odpowiednie przykłady, dla których te algorytmy nie wyznaczają poprawnie krawędzi. Algorytmy wykrywania krawędzi muszą spełniać szereg wymagań, które stwierdzają poprawność danego algorytmu, czy też operatora morfologicznego. Zgodnie z Cytowski J. [6] „dobry detektor krawędzi powinien spełniać następujące warunki:

- niskie prawdopodobieństwo zaznaczenia punktów nienależących do krawędzi oraz niskie prawdopodobieństwo niezaznaczenia punktów należących do krawędzi,
- zaznaczone punkty krawędzi powinny być możliwie blisko jej osi,
- wyłącznie jedna odpowiedź na pojedynczy punkt krawędzi.”

Został użyty operator Canny'ego, bo jest on powszechnym i dobrze sprawdzonym rozwiązańiem do wykrywania krawędzi. Jak napisał autor [6] „Operator ten (Canny'ego) jest bardzo popularny, chętnie wykorzystywany i adoptowany do wielu zastosowań. (...) Stał on się również standardem często używanym do porównań innych metod wykrywania krawędzi.” Zgodnie z rysunkiem 4.25 „Porównanie operatorów wykrywania krawędzi” w [6] najlepiej wykrywał główne narządy, takie jak wątroba czy też trzustka. Z wyżej wymienionych powodów został on wykorzystany w tym algorytmie.

Operator Canny'ego [5] składa się z 3 zasadniczych kroków:

##### 1. Określenie wartości i kąta gradientu.

W tym celu został wykorzystany operator gradientu, a estymatorem gradientu w funkcji dyskretnej, jaką jest obraz, zastosowano maskę, czy też operator Sobela. Wykorzystując go uzyskano dla każdego piksela wielkość oraz kierunek gradientu, co służy do dalszych obliczeń.

##### 2. Wykrycie miejsc występowania krawędzi.

W tym celu został wykorzystany algorytm non-max suppression. Polega on na wyborze

### 3. OPIS AUTORSKIEGO NARZĘDZIA INFORMATYCZNEGO

takich pikseli, które mają największą wartość gradientu na linii o kierunku zgodnym z kątem danego gradientu. Możliwe są 4 kierunki: pionowy, poziomy oraz dwa diagonalne. Jeśli dany piksel miał większą wartość gradientu od dwóch swoich sąsiadów, to zaznaczono go jako potencjalny punkt tworzący krawędzie. W ten sposób otrzymano obraz z potencjalnymi krawędziami.

#### 3. Wyznaczanie krawędzi progowaniem histerezy

Po poprzednim kroku na obrazie nadal znajdują się nieistotne krawędzie. W tym celu Canny wprowadził ideę progowania histerezy. Metoda ta wymaga 2 wartości progowych  $T_1, T_2$  takich, że  $T_1 < T_2$ . Jeżeli wartość gradientu w danym pikselu jest większa od  $T_2$ , to zaznaczono ten punkt jako krawędź. Jeśli tak się stało, to zaczęto proces śledzenia krawędzi — dla każdego sąsiada, którego wartość gradientu jest większa od  $T_1$  zaznaczono go jako krawędź. Jest ona wykonywana rekurencyjnie dla każdego zakwalifikowanego punktu.

Zamiast dokładnych wartości progowych można przekazać do funkcji 2 wartości —  $t_1, t_2$ , które są procentem liczby pikseli, które będą niedopuszczone jako krawędzie. Dla  $t_1 = 0.7, t_2 = 0.9$  dopuszczono tylko 10% pikseli jako te, które są większe od  $T_2$ . Podając  $t_1, t_2$  wyznaczono rozkład wartości gradientu w badanym obrazie, obliczono dystrybuantę  $F(x)$  i wybrano dla  $T_1$  ten argument, dla którego  $F(x) = t_1 * p$ , gdzie  $p$  to liczba pikseli i analogicznie dla  $T_2$ . W ten sposób wyznaczono progi do histerezy.

Operator Sobela [25] to metoda wyznaczania gradientu, a więc zarazem krawędzi zarówno w kierunku poziomym, jak i w pionowym. Dla każdego piksela przeprowadzono operację morfologiczną z następującymi maskami:

Maska rzędów	Maska kolumn
$\begin{array}{rrr} -1 & -2 & -1 \end{array}$	$\begin{array}{rrr} -1 & 0 & 1 \end{array}$
$\begin{array}{rrr} 0 & 0 & 0 \end{array}$	$\begin{array}{rrr} -2 & 0 & 2 \end{array}$
$\begin{array}{rrr} 1 & 2 & 1 \end{array}$	$\begin{array}{rrr} -1 & 0 & 1 \end{array}$

Po wykonaniu tych operacji otrzymano wartości  $s_1$  i  $s_2$  odpowiednio dla maski rzędów i kolumn. Na podstawie tych danych otrzymano następujące informacje o gradiencie:

Wielkość gradientu	Kierunek krawędzi
$\sqrt{s_1^2 + s_2^2}$	$\operatorname{tg}^{-1} \left[ \frac{s_1}{s_2} \right]$

Detektory krawędzi oparte na gradiencie, w tym operator Canny'ego są często używane. Ich główne zalety na podstawie [6] to:

### 3.4. OPRACOWANY ALGORYTM PÓŁAUTOMATYCZNY

- dają dobre wyniki dla obrazów o dobrej jakości i bez szumów.
- są wydajne - ich złożoność jest liniowa względem liczby przetwarzanych pikseli.
- nie wymagają skomplikowanej sztucznej inteligencji do działania.

Zgodnie z [6] za ich główne wady można uznać:

- potrzebę określenia rozmiaru maski i wartości progowej, gdyż rozmiar maski znacząco wpływa na rozmieszczenie pozycji, w których gradient osiąga wartości maksymalne lub przecina zera,
- pomijanie narożników, które spowodowane jest faktem, że wartość 1D gradientu w narożnikach jest zazwyczaj zbyt mała, aby wykrywać wokół nich,
- znajdowanie schodkowych krawędzi, które są wykrywane tylko przez operator pierwszej pochodnej,
- dużą wrażliwość na szum,
- na podstawie obserwacji działania algorytmu — rozmyte krawędzie często nie są wykrywane przez małe różnice w wartościach kolejnych sąsiadujących pikseli.

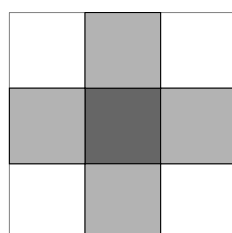
W ten sposób otrzymano macierz, gdzie każde pole w macierzy odpowiada pikselowi w wejściowej bitmapie — obrazie medycznym. Jeśli w komórce macierzy znajduje się 1, to w tym miejscu na bitmapie znajduje się krawędź, w przeciwnym przypadku 0. W ten sposób algorytm wykrył wszystkie znaczące krawędzie na bitmapie. Kolejnym krokiem przetwarzania było stworzenie grafu na podstawie wyżej wymienionej macierzy.

#### 3.4.2. Stworzenie grafu z bitmapy

Kolejnym etapem jest stworzenie grafu z bitmapy. Na tym etapie algorytm potrzebuje następujących danych wejściowych:

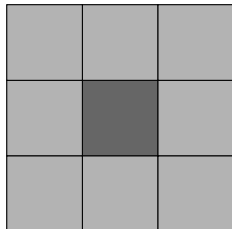
- macierz z wartościami logicznymi prawda/fałsz czy znajduje się w danym punkcie krawędź. Może to być także realizowane poprzez macierz wartości liczbowych.
- punkty wybrane przez użytkownika aplikacji.

Przed rozpoczęciem działania algorytmu należy zapewnić łączność 4-krotną (ang. Pixel 4-connectivity) [21]. Jest ona zwana także sąsiedztwem von Neumanna. Przy łączności 4-krotnej sprawdza się tylko sąsiadów w poziomie lub pionie.



### 3. OPIS AUTORSKIEGO NARZĘDZIA INFORMATYCZNEGO

Dla łączności 8-krotnej sprawdza się wszystkich możliwych sąsiadów, także po przekątnej. Jest ona zwana także sąsiedztwem Moore'a lub otoczeniem Moore'a [26].



W przypadku zastosowania łączności 8-krotnej przy wyznaczaniu długości krawędzi musiano by zastosować metrykę Czebyszewa, która jest specjalnym przypadkiem odległości Minkowskiego. Jeśli zostanie łączność 4-krotna to długość krawędzi byłaby obliczana zgodnie z metryką miejską, zwaną też metryką Manhattan.

Metryka Manhattan w kontekście dalszego przetwarzania w celu wyszukiwania najkrótszych ścieżek w grafie jest bardziej adekwatna, ponieważ jest intuicyjna w wyznaczaniu odległości na obrazie płaskim w porównaniu do metryki Czebyszewa. W tym przypadku najlepsza byłaby tutaj metryka Euklidesa, lecz mamy do czynienia nie z kolejnymi punktami oddalonymi od siebie, a z sąsiadującymi pikselami. Ponadto w tym algorytmie istotne jest szybkie szacowanie odległości, czy też długości danej krawędzi.

Wykrywanie wierzchołków przy łączności 4-krotnej jest prostsze. Wystarczy zliczyć liczbę sąsiadów. Poniżej zakładamy, że piksel jest oznaczony jako krawędź w macierzy wejściowej. W zależności od liczby sąsiadów mamy następujące przypadki:

- 0 — wierzchołek izolowany,
- 1 — punkty końcowe (ang. endpixels),
- 2 — punkty łączące (ang. linkpixels), czyli fragmenty krawędzi,
- 3–4 — punkty węzłowe (ang. vertices), czyli punkty, od których odchodzą co najmniej 3 krawędzie.

W przypadku łączności 8-krotnej do detekcji wierzchołków należałyby stosować przekształcenia Hit-or-Miss z elementami strukturalnymi. Elementy strukturalne do wykrywania odpowiednich punktów są następujące:

- wierzchołek izolowany:

$$\begin{bmatrix} 0 & 0 & 0 \\ 0 & 1 & 0 \\ 0 & 0 & 0 \end{bmatrix},$$

### 3.4. OPRACOWANY ALGORYTM PÓŁAUTOMATYCZNY

- punkty końcowe (ang. endpixels):

$$\begin{bmatrix} 0 & 0 & 0 \\ 0 & 1 & 0 \\ z & z & z \end{bmatrix},$$

- punkty łączące (ang. linkpixels), czyli fragmenty krawędzi, posiadają dokładnie 2 sąsiadów, nie używamy przekształcenia Hit-or-Miss a tylko liczymy sąsiadów

- punkty węzłowe (ang. vertices), czyli punkty, od których odchodzą co najmniej 3 krawędzie:

$$\begin{bmatrix} z & 1 & z \\ z & 1 & z \\ z & z & 1 \end{bmatrix} \text{ lub } \begin{bmatrix} 1 & z & z \\ z & 1 & z \\ 1 & z & 1 \end{bmatrix},$$

Warto zauważyć, że te elementy strukturalne należy obracać o 90, 180 i 270 stopni. Za każdym razem trzeba by wielokrotnie sprawdzać te same piksele. Ponadto należy sprawdzać 8, a nie 4 sąsiadów.

Kolejnym problemem jest fakt, że przy spójności 8-krotnej przekształcenie Hit-or-Miss może w najbliższym otoczeniu punktu krzyżowania się krawędzi oznaczyć kilka otaczających punktów, jako punkty węzłowe. Jest to złe rozwiążanie, ponieważ w ten sposób może nawet kilkukrotnie zwiększyć liczbę wierzchołków w grafie, co przełożyłoby się na niską wydajność algorytmu.

Ostatnim problemem z jakim należało się liczyć wybierając łączność 8-krotną jest fakt, że macierz wejściową dla tego etapu algorytmu trzeba by poddać procesowi szkieletyzacji. Najlepiej byłoby w tym celu skorzystać z algorytmu KMM [22] lub K3M [23]. Te algorytmy musiałyby co najmniej raz przejrzeć całą macierz z wykrytymi krawędziami w optymistycznym przypadku.

Z wyżej wymienionych powodów zdecydowano się na łączność 4-krotną. Przygotowano i zaimplementowano algorytm tworzący graf z bitmapy, a jego pseudokod znajduje się w Załączniku 1.

Utworzony w ten sposób graf jest grafem nieskierowanym z wagami, gdzie wagi to liczba pikseli, czy też punktów należących do krawędzi. Graf ten może nie być spójny. Ponadto może nie zawierać wierzchołków, które pokrywają się z punktami wybranymi przez użytkownika.

Graf ten zazwyczaj jest rzadki, ponieważ liczba jego krawędzi jest rzędu liczby jego wierzchołków. Z uwagi na czasami bardzo dużą liczbę wierzchołków — nawet do kilkudziesięciu tysięcy — próba implementacji przy pomocy macierzy sąsiedztwa mogłaby spowodować zużycie całej możliwej pamięci operacyjnej. Dla 50 tysięcy wierzchołków program musiałby zadeklarować macierz sąsiedztwa zawierającą 2,5 miliarda komórek. Z tych powodów graf został zaimplementowany przy pomocy list sąsiedztwa.

### 3. OPIS AUTORSKIEGO NARZĘDZIA INFORMATYCZNEGO

W przyjętej implementacji każda krawędź zawiera dodatkowo informację o tym, jakie piksele należą do danej krawędzi w rzeczywistym obrazie.

#### 3.4.3. Zapewnienie spójności grafu

W pierwszym kroku na tym etapie przetwarzania grafu są dodawane punkty wybrane przez użytkownika do grafu.

Graf, który uzyskano w poprzednim kroku może nie być spójny. Powoduje to fakt, że między punktami wybranymi przez użytkownika mogą nie istnieć ścieżki. W celu zapewnienia spójności grafu należy dodawać sztuczne krawędzie. Zostają one dodawane z większymi wagami, niż wynikłoby to w rzeczywistości z liczebności listy pikseli, które reprezentują, ponieważ ma to na celu używanie z większym priorytetem prawdziwych krawędzi, a nie sztucznych. W sytuacji gdy nie istnieje dobra ścieżka z prawdziwych krawędzi, zostaną użyte krawędzie sztuczne. Duże wagi dodatkowo będą zmuszały algorytmy wyszukiwania najkrótszych ścieżek w grafie do minimalizowania długości takich fragmentów zawierających sztuczne krawędzie.

Do znajdowania spójnych składowych grafu najczęściej używa się algorytmu przeszukiwania grafu w głąb (ang. Depth-first search, w skrócie DFS) lub przeszukiwania grafu wszerz (ang. Breadth-first search, w skrócie BFS) [24]. Użyto algorytmu przeszukiwania wszerz, opierając się na przykładowej implementacji w materiałach [4]. Wykorzystano Queue<T>, a zatem kolejkę, więc jest to przeszukiwanie wszerz. Złożoność obliczeniowa tego algorytmu to  $O(|E|)$ .

Po wyznaczeniu spójnych składowych grafu dla każdej pary składowych znajdowano taką parę wierzchołków, żeby odległość między nimi jest minimalna. Jeśli odległość była mniejsza niż maksymalna odległość między dwoma dowolnymi punktami zaznaczonymi przez użytkownika, to była dodawana sztuczna krawędź o wadze 2,5 razy większej niż odległość wynikająca z metryki Manhattan pomiędzy tymi dwoma wierzchołkami.

Przykład zasady działania tej operacji przedstawia poniższy pseudokod:

```
1) foreach (Spójna składowa grafu s1)
2) {
3)     foreach (Spójna składowa grafu s2, różna od s1 i nie przetwarzana
            wcześniej jako s1)
4)     {
5)         Wybierz wierzchołek v1 z s1 i v2 z s2 takie, że odległość pomiędzy
            nimi jest najmniejsza ze wszystkich takich par
6)         Dodaj sztuczną krawędź pomiędzy v1 i v2
7)     }
```

8) }

W ten sposób osiągnięto spójny graf, który zawiera punkty dodane przez użytkownika.

#### 3.4.4. Wyszukiwanie najkrótszych ścieżek w grafie

Na tym etapie została zapewniona spójność grafu. Z całą pewnością istnieje ścieżka pomiędzy punktami wybranymi przez użytkownika, te punkty są osiągalne. Pozostało wybrać najkrótszą ścieżkę łączącą kolejne punkty. Założono, że jest dana lista punktów wybranych przez użytkownika i zawiera ona kolejne punkty, tzn. pierwszy należy połączyć z drugim, drugi z trzecim, . . . , ostatni z pierwszym.

Warto zaznaczyć, że wyszukiwano ścieżki o minimalnej wadze, czy też o minimalnym koszcie. Z uwagi na fakt, że wagi w grafie są ściśle związane z odległościami to używane jest sformułowanie szukania najkrótszych ścieżek. Wagi w tym grafie są nieujemne. Może w nim istnieć kilka ścieżek z jednego punktu do drugiego o tym samym koszcie, więc algorytm kończy swoje działanie na tym etapie, gdy znajdzie jedną z nich. W tym grafie nie występują krawędzie wielokrotne i nie zawiera cykli własnych.

Do wyszukiwania najkrótszych ścieżek w grafie, po zgłębieniu literatury [24] i [4] były rozważane do użycia 2 algorytmów. Był to algorytm Dijkstry i A\*. Do algorytmu A\* była rozważana heurystyka w postaci odległości miejskiej, Manhattan z wierzchołka  $v$  do celu  $t$ , ozn.  $h(v)$ .

Zgodnie z [4] „Funkcja  $h$  musi spełniać następujące warunki:

- musi być oszacowaniem dolnym, czyli dla każdego wierzchołka  $v$   $h(v) \leq$  odległość  $v$  od celu  $t$ ,
- musi być monotoniczna, czyli dla dowolnej krawędzi  $\langle u, v \rangle$   $h(u) \leq$  waga  $\langle u, v \rangle + h(v)$ .

Heurystyka w postaci metryki Manhattan spełnia te wymagania. Z tego powodu może zostać wykorzystany algorytm A\*. Porównując złożoności algorytmu A\* i Dijkstry w [4] możemy zauważać, że algorytm A\* w pesymistycznym przypadku ma taką samą złożoność jak algorytm Dijkstry, czyli  $O(|E| * \log(|V|))$  z kolejką priorytetową dla grafów rzadkich, a  $O(|V|^2)$  nie korzystając kolejki priorytetowej dla grafów gęstych. W praktyce dla grafów rzadkich nie ma potrzeby rozważania znacznej części wierzchołków, co poprawia złożoność średnią. Wynosi ona wtedy  $O(|E|)$ .

Do implementacji wyszukiwania najkrótszych ścieżek w grafie na podstawie wyżej wymienionych wniosków został wykorzystany algorytm A\* z heurystyką w postaci metryki Manhattan. Przykładowy pseudokod tego algorytmu można znaleźć w [4] i jest on następujący:

### 3. OPIS AUTORSKIEGO NARZĘDZIA INFORMATYCZNEGO

```
1) CLOSE = {} // zbiór (z szybkim sprawdzeniem przynależności)
2) OPEN = {s} // kolejka priorytetowa
3) // priorytety - sumy odległości wierzchołków od źródła
4) // i oszacowań odległości tych wierzchołków od celu
5) odległość[s] = 0
6) while ( OPEN niepusty )
7) {
8)     u = wierzchołek należący do OPEN taki, że
9)         odległość[u] + oszacowanie[u,t] <=
10)            odległość[w] + oszacowanie[w,t]
11)         dla wszystkich w należących do OPEN
12)             usuń u z OPEN
13)             wstaw u do CLOSE
14)             if ( u == t ) break
15)             foreach ( wierzchołek w sąsiadujący z u taki, że w należący do CLOSE )
16)             {
17)                 if ( w należy do OPEN )
18)                 {
19)                     odległość[w] = nieskończoność
20)                     wstaw w do OPEN
21)                 }
22)                 if ( odległość[w] > odległość[u] + waga<u,w> )
23)                 {
24)                     odległość[w] = odległość[u] + waga<u,w>
25)                     aktualizacja priorytetu wierzchołka w (w OPEN)
26)                     poprzedni[w] = u
27)                 }
28)             }
29) }
```

Aby maksymalnie dobrze wykorzystać niską złożoność obliczeniową algorytmu A\* należało wykorzystać dobre struktury danych do tego algorytmu. Zbiór CLOSE wymagał szybkiego sprawdzania przynależności. Po przenalizowaniu rekomendowanych struktur danych [13] został użyty HashSet<T>.

Zbiór Open oferował zastosowanie znacznie bardziej finezyjnych struktur danych. Wymagane

### 3.4. OPRACOWANY ALGORYTM PÓŁAUTOMATYCZNY

było od niego, aby był kolejką priorytetową, czyli aby był sortowany po priorytetach będącymi sumą odległości wierzchołków od źródła i oszacowań odległości tych wierzchołków od celu. Warto zauważać, że oprócz sortowania często są wstawiane do niego wierzchołki, pobierane, usuwane i modyfikowane wartości priorytetu. Bardzo często jest sprawdzana przynależność i wyszukiwanie według klucza.

W [2] na stronie 317 znajduje się tabela 7.1. Przedstawia ona porównanie czasów różnych operacji dla różnych klas słownikowych zaimplementowanych w technologii .NET. Najlepszą strukturą danych byłoby SortedDictionary<K,V>, która jest implementowana przez drzewo czerwono-czarne gdyby nie fakt, że jest sortowane po kluczu, a nie tak jak jest potrzebne w tym przypadku sortowanie po wartości. Poszukiwano zatem struktury danych, która sortuje po wartościach i ma łatwy dostęp przez klucz.

W naszym rozwiążaniu została zaimplementowana struktura danych opierająca się na dwóch podstrukturach - zaimplementowanej kolejki priorytetowej poprzez listę, oraz słownik Dictionary<K,V> z technologii .NET, który opiera się o Tablicę skrótów. Zaimplementowana lista miała następującą strukturę:

```
public class MySortedListElement
{
    public Vertex Key;
    public double Value;
    public MySortedListElement next;
    public MySortedListElement previous;
}
```

Struktura ta miała zaimplementowane sortowanie przez wstawianie, zatem modyfikacja tylko jednego elementu wymagała w pesymistycznym przypadku tylko  $O(n)$  porównań. Wstawianie nowego elementu ma złożoność pesymistyczną  $O(n)$ , usuwanie  $O(1)$ . Zbadanie przynależności po kluczu to  $O(n)$  i nie zaleca się tego robić.

Niezależnie od tej struktury jest przechowywana druga struktura danych, Dictionary<K,V>, gdzie kluczami są wierzchołki, a wartości to referencje na elementy tej listy. Zmienne odpowiedzialne za przechowanie kolejki priorytetowej OPEN zostały zadeklarowane w sposób następujący:

```
Dictionary<Vertex, MySortedListElement> OpenDictionary =
    new Dictionary<Vertex, MySortedListElement>();
MySortedList OpenList = new MySortedList();
```

### 3. OPIS AUTORSKIEGO NARZĘDZIA INFORMATYCZNEGO

W ten sposób w połączeniu tych dwóch podstruktur otrzymujemy strukturę danych o następujących właściwościach:

- dodawanie w czasie  $O(n)$ ,
- wyszukiwanie po kluczu w czasie  $O(1)$ ,
- wybieranie najmniejszy element według wartości w czasie  $O(1)$ ,
- usuwanie w czasie  $O(1)$
- modyfikowanie jednego elementu w czasie  $O(n)$ .

Algorytm A\* jest uruchamiany dla każdego punktu wybranego przez użytkownika. Wyszukuje on najkrótszą ścieżkę do kolejnego punktu wybranego przez użytkownika. Po wszystkich obliczeniach obrys składa się z poszczególnych ścieżek. Są one konsolidowane i zwracane jako lista pikseli na podstawie danych z krawędzi o listach pikseli, z których jest zbudowana krawędź. W ten sposób jest wykrywany obrys pomiędzy punktami zaznaczonymi przez użytkownika.

W sytuacji, gdy pomiędzy różnymi wierzchołkami nie istnieją prawdziwe krawędzie, albo istnieją tylko w wybranym fragmencie ścieżki łączącej te dwa wierzchołki, algorytm w miarę możliwości będzie starał się używać prawdziwych krawędzi, dzięki odpowiedniej wadze krawędzi sztucznych. Dzięki sztucznym krawędziom na pewno istnieje droga między kolejnymi punktami, zatem algorytm z całą pewnością zwróci poprawny wynik. Co najwyżej będzie to wielokąt z punktami wybranymi przez użytkownika.

Algorytm dla sztucznych krawędzi generuje listę pikseli algorytmem Bresenhama [3]. Jest to algorytm, który dodaje w najbardziej optymalny sposób krawędzie. W celu zapewnienia łączności 4-krotnej jest przeprowadzana operacja morfologiczna z wykrywaniem 2 pikseli po przekątnej z maską 4-pikselową. Gdy takie piksele zostaną wykryte, to na jednym z rogów jest dodawany piksel w celu zapewnienia łączności 4-krotnej.

#### 3.4.5. Optymalizacja

Większość plików medycznych ma rozdzielczości rzędu kilkaset na kilkaset pikseli, a więc na całym obrazie znajduje się kilkaset tysięcy pikseli. Zdarzają się też pliki w znacznie większej rozdzielczości, takimi są między innymi mammografia i zdjęcie rentgenowskie. Na tych obrazach znajduje się do kilkudziesięciu milionów pikseli. W celu sprawnego przetwarzania tych informacji potrzebne były optymalizacje do algorytmu. Zostały dodane usprawnienia, które opisano poniżej.

##### 1. Zmniejszenie rozmiaru obrazu roboczego

W pierwszym kroku zmniejszono rozmiar obrazu roboczego. Wyznaczono najmniejszy prostokąt, w którym mieścią się wszystkie punkty zaznaczone przez użytkownika. Powiększono ten prostokąt o marginesy w taki sposób, by wyjściowy prostokąt nadal był w środku,

### 3.5. MODUŁ OBLICZEŃ STATYSTYK

a pole powiększonego było 4-krotnie większe. Innymi słowami — dodano marginesy po 50% szerokości / wysokości do każdego wymiaru. Jeśli rozmiar powiększonego prostokąta jest większy niż obrazu, to nie jest zmieniany obraz roboczy. Gdy użytkownik stworzył mały obrys, to rozmiar przetwarzanego obrazu jest także mały. W sytuacji, gdy obrys zajmuje prawie cały obraz medyczny, to nadal musi być przetwarzany cały obraz.

#### 2. Sieganie do pamięci zamiast to bitmapy

W celu przyśpieszenia działania operatora Sobela i liczenia statystyk, zamiast sięgać do bitmapy metodą `.GetPixel()` na platformie .NET, bitmapa została zapisana do tablicy bajtów i był z niej bezpośredni dostęp. Została wykorzystana do tego funkcja `.LockBits()`. Zysk na tej operacji był kilkudziesięciokrotny. Na późniejszych etapach algorytmu pracowano na macierzy, która nie była już bitmapą, więc operacje te wykonywały się znacznie szybciej.

#### 3. Dzielenie zbyt długich krawędzi

W sytuacji, gdy wczytane krawędzie do grafu są bardzo długie, może zdarzyć się taka sytuacja, że punkt zaznaczony przez użytkownika znajduje się bardzo blisko krawędzi, ale daleko od punktu początkowego lub końcowego krawędzi. W tym celu jest wprowadzony mechanizm dzielenia zbyt długich krawędzi na kilka krótszych.

#### 4. Problem z ilością punktów

Dla każdego punktu jest uruchamiany algorytm A\*, zatem w sposób liniowy od ilości punktów zależy liczba uruchomień algorytmu A\*. Nie można wyznaczyć, czy w złożoności średniej całego algorytmu algorytm jest zależny liniowo od ilości punktów, czy w sposób logarytmiczny, czy też w sposób stały.

### 3.5. Moduł obliczeń statystyk

System zapewnia liczenie statystyk dotyczących obrysu. Statystyki są identyczne zarówno dla obrysów manualnych i półautomatycznych, do których należą:

- histogram — wykres pokazujący natężenie kolorów w obrysowanym obszarze (kolor, to liczba w zakresie [0, 255], gdzie 0 oznacza najciemniejszy piksel, a 255 najjaśniejszy),
  - wartość maksymalna — maksymalna wartość koloru piksela wewnątrz obrysu,
  - wartość minimalna — minimalna wartość koloru piksela wewnątrz obrysu,
  - wartość średnia — średnia arytmetyczna wartości kolorów pikseli wewnątrz obrysu,
- środek ciężkości — średnia arytmetyczna pozycji pikseli obrysu,

### 3. OPIS AUTORSKIEGO NARZĘDZIA INFORMATYCZNEGO

- długość obrysu w  $mm$  — obliczana na podstawie położenia pikseli i wartości pixel spacing odczytywanej z tagu obrazu DICOM,
- długość obrysu w pikselach,
- pole powierzchni w  $mm^2$ ,
- liczba pikseli wewnętrz obrysu.

Do obliczenia histogramu jest wymagany punkt wewnętrzny obrysu. Środek ciężkości obrysu nie zawsze musi znajdować się wewnętrz obrysu. W przypadku zastosowania algorytmu scan-linii dla obrysu manualnego nie jest dana informacja o logicznych wartościach, gdzie jest krawędź, więc nie można wykryć np. krawędzi poziomych. Algorytm scan-linii lepiej nadaje się w przypadku, gdy wypełniamy wielokąt, a nie obrys.

Z tego powodu wybrano algorytm Flood Fill, czyli rozlewania się rekurencyjnego zliczonych pikseli od punktu wewnętrznego. Właśnie z tego powodu od użytkownika jest wymagane podanie dodatkowej informacji, jaką jest punkt wewnętrzny obrysu. Założono, że użytkownik zaznaczy go poprawnie. W sytuacji, gdy zostanie podany błędny punkt to ten algorytm policzy to co znajduje się na zewnątrz obrysu, a nie to co jest wewnętrz.



## **4. Przeprowadzone eksperymenty**

Zostały przeprowadzne eksperymenty na autorskim narzędziu do tworzenia obrysów. W podrozdziałach 4.1 - 4.4 przedstawiono wyniki tych eksperymentów.

Testy wykonano na komputerze stacjonarnym o następującej specyfikacji:

- procesor Intel Core i5-7500 o taktowaniu maksymalnym dla jednego rdzenia 3.8 Ghz,
- pamięć RAM Corsair Vengeance DDR4 16GB 3000 Mhz ustawiona w tryb 2140 Mhz o opóźnieniach CL15,
- płyta główna ASUS STRIX ROG Z270-I,
- procesor jest chłodzony powietrzem przez Noctuę NH-L9i, procesor utrzymuje temperaturę około 64 stopni Celsjusza przy temperaturze otoczenia około 21 stopni Celsjusza, nie występuje throttling,
- system operacyjny Windows 10.

### **4.1. Zbiór testowy**

Na zbiór plików testowych składają się prywatne badania autora i jego najbliższej rodziny.

Do testów zostały wykorzystane następujące badania:

1. badanie rezonansem magnetycznym barku prawego Tomasza Świerczewskiego około 8 tygodni po zwichtnięciu stawu ramiennego typu przedniego podkruczego — Badanie 1,
2. zdjęcie rentgenowskie barku prawego Tomasza Świerczewskiego w momencie zwichtnięcia stawu ramiennego — Badanie 2,
3. badanie tomografią komputerową kręgosłupa Wojciecha Świerczewskiego — Badanie 3,
4. badanie rezonansem magnetycznym kręgosłupa Wojciecha Świerczewskiego — Badanie 4.

Pliki te były wykonane na różnych urządzeniach, w różnych szpitalach.

Dodatkowo wykorzystano wyniki badań udostępnione Politechnice Warszawskiej do celów dydaktyczno badawczych. Zawierały one badania organów wewnętrznych, takich jak wątroba i trzustka wykonane przy użyciu rezonansu magnetycznego oraz badanie mammograficzne.

## 4.2. Analiza działania aplikacji

W autorskiej aplikacji otwierano kolejne badania. Rysunek 4.1 przedstawia jedną klatkę obrazu medycznego Badanie 1, z pewnej serii. Rysunek 4.2 przedstawia Badanie 2, natomiast Rysunek 4.3 przedstawia Badanie 3, a Rysunek 4.4 Badanie 4.

Ten test wykazał, że aplikacja otwiera różne badania medyczne, od rezonansu magnetycznego, przez tomografię komputerową po zdjęcie rentgenowskie. Na każdym z obrazów medycznych można wykonywać obrysy. Przykładowe obrysy ręczne i półautomatyczne znajdują się odpowiednio na Rysunku 4.5 i Rysunku 4.6. Wyniki testów potwierdzają, że statystyki są obliczane poprawnie.

## 4.3. Wydajność algorytmu półautomatycznego

W celu sprawdzenia wydajności stworzonego algorytmu półautomatycznego posłużono się Badaniem 1, o rozdzielczości 512 na 512 pikseli.

W pierwszym teście sprawdzono czasy generowania obrysu półautomatycznego kości ramiennej, w zależności od ilości punktów wybranych przez użytkownika. Oczekiwano, że obrys będzie wyglądał podobnie do tych na Rysunkach 4.5 i 4.6. Rozmiary przetwarzanych wycinków obrazu w algorytmie były porównywalne. Algorytm wykorzystywał wycinki obrazu medycznego zawierające wszystkie punkty wybrane przez użytkownika z uwzględnieniem marginesów.

W trakcie dodawania kolejnych punktów starano się poprawiać obrys, tzn. aby wygenerowany obrys jak najlepiej odwzorowywał kość. Przy okazji dodawania kolejnych punktów do tego samego obrysu przetestowano funkcjonalność dodawania kolejnych punktów do obrysu.

Dla każdej liczby wierzchołków przeprowadzano 10 kolejnych pomiarów generowania tego samego obrysu. Pozwoliło to na wyznaczenie średniego czasu generowania obrysu, niezależnie od chwilowego wykorzystania procesora.

Większość z generowanych obrysów było podglądami, czyli nie obliczano dla nich statystyk. Czas mierzono poprzez sprawdzanie czasu potrzebnego na wygenerowanie odpowiedzi przez API na otrzymane zapytanie.

Na Rysunku 4.7 przedstawiono wyniki przeprowadzonych testów. Wraz z dodawaniem kolejnych punktów zmniejszał się czas potrzebny na wygenerowanie obrysu przez serwer. Warto zauważyć, że wartości zmniejszyły się o około 150 ms. Nie dodawano kolejnych punktów z uwagi na osiągnięcie zadowalającej jakości wygenerowanego obrysu.

Na Rysunku 4.8 przedstawiono wyniki dla drugiego z testów. Starano się obrysować cały

#### 4. PRZEPROWADZONE EKSPERYMENTY

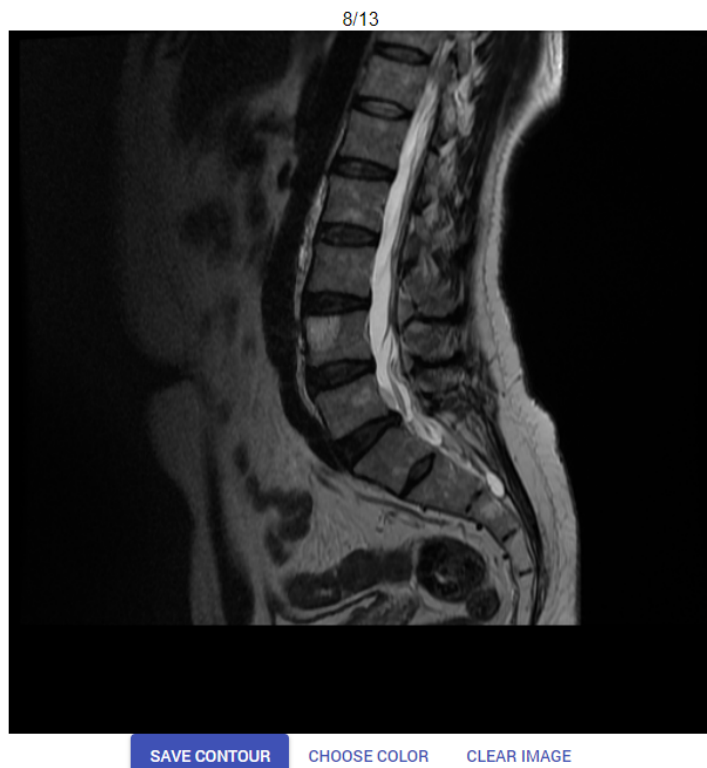


Rysunek 4.1: Widok badania rezonansem magnetycznym barku

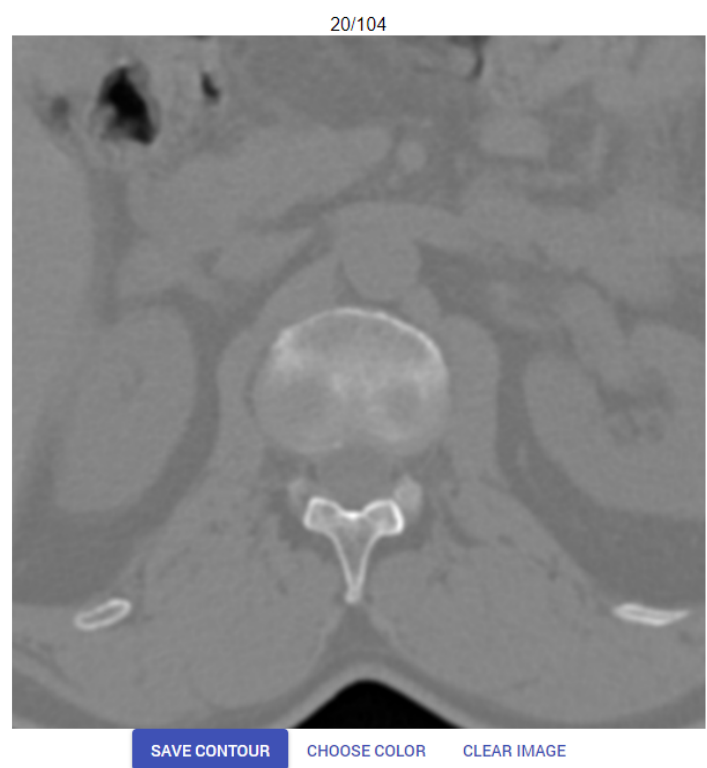


Rysunek 4.2: Widok zdjęcia rentgenowskiego barku

#### 4.3. WYDAJNOŚĆ ALGORYTMU PÓŁAUTOMATYCZNEGO

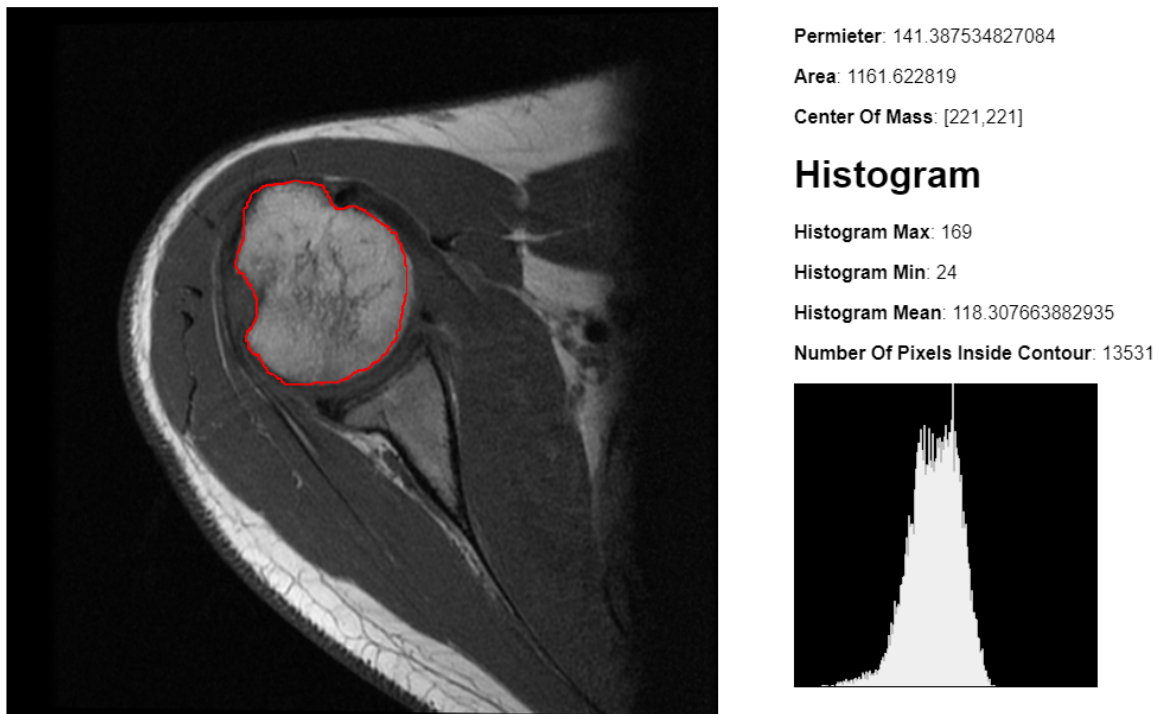


Rysunek 4.3: Widok badania rezonansem magnetycznym kręgosłupa

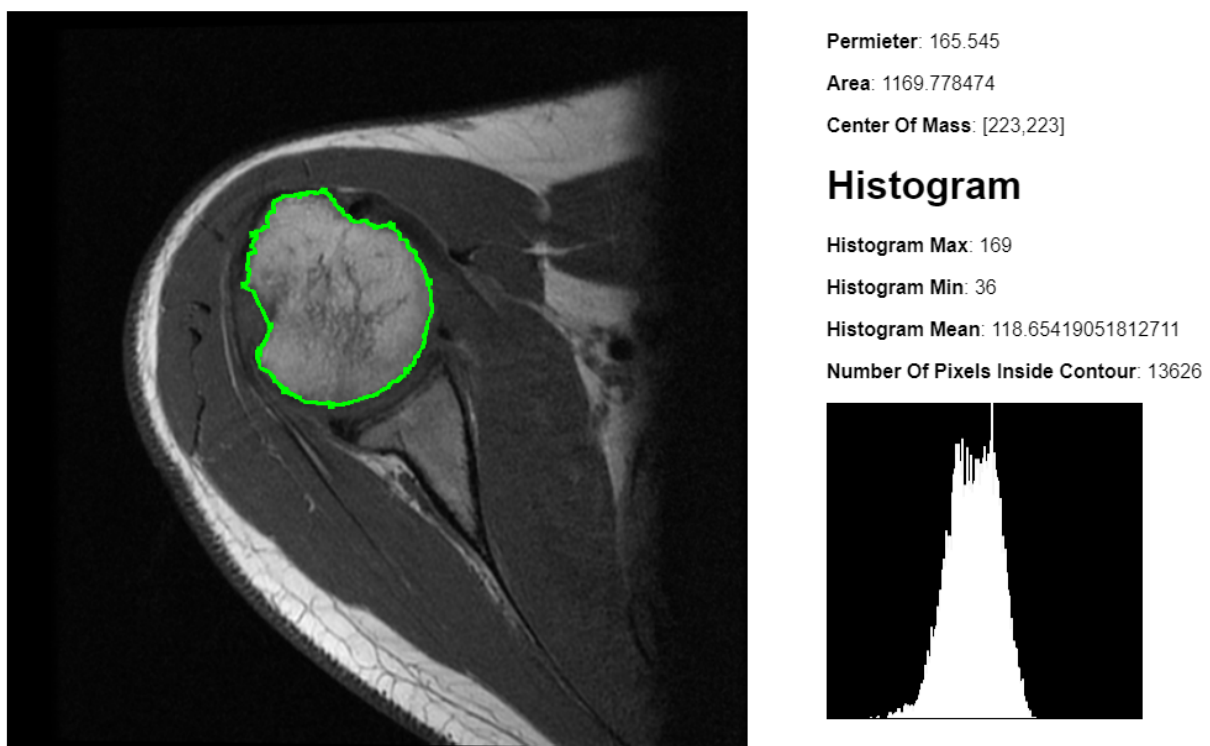


Rysunek 4.4: Widok badania tomografią komputerową kręgosłupa

Testowy ręczny

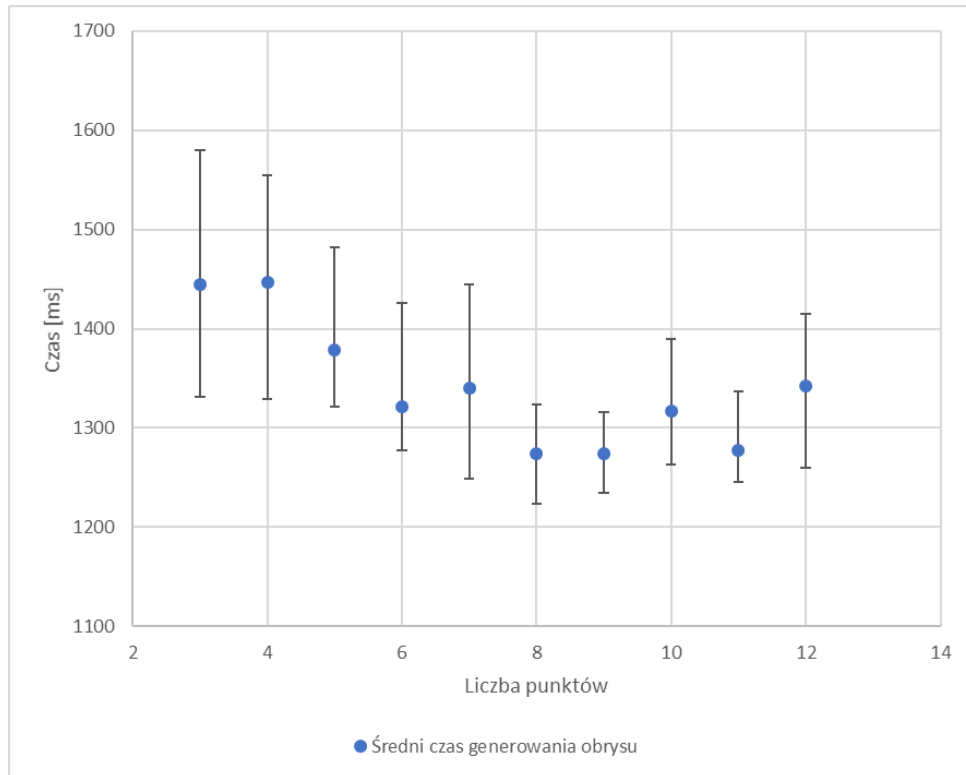


Rysunek 4.5: Przykładowy obrys manualny

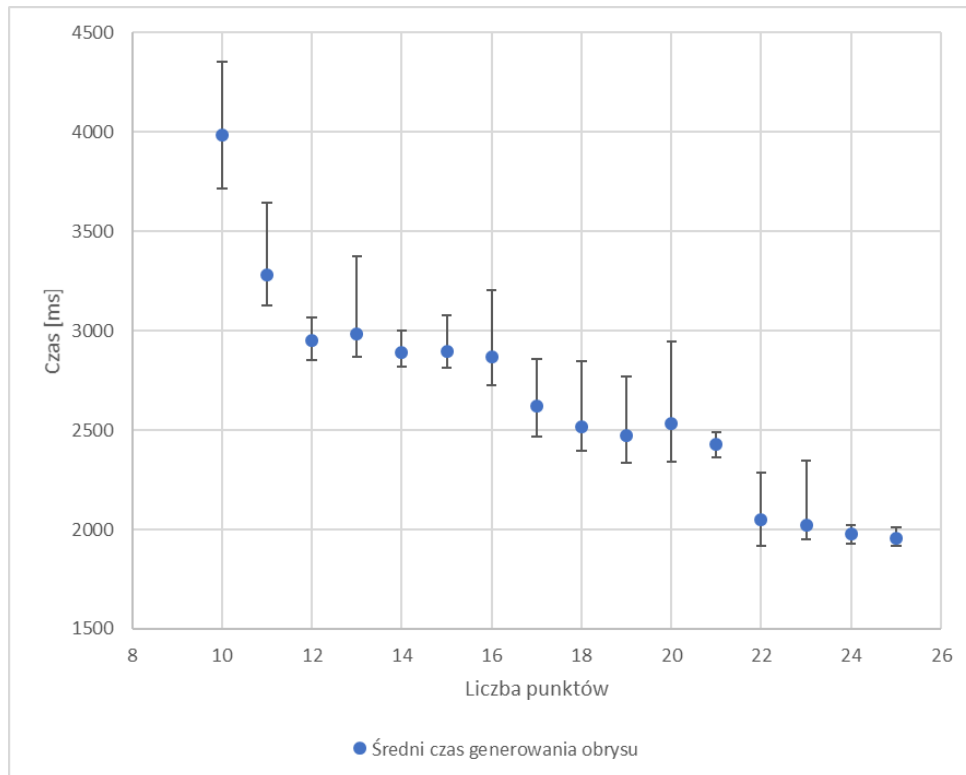


Rysunek 4.6: Przykładowy obrys półautomatyczny

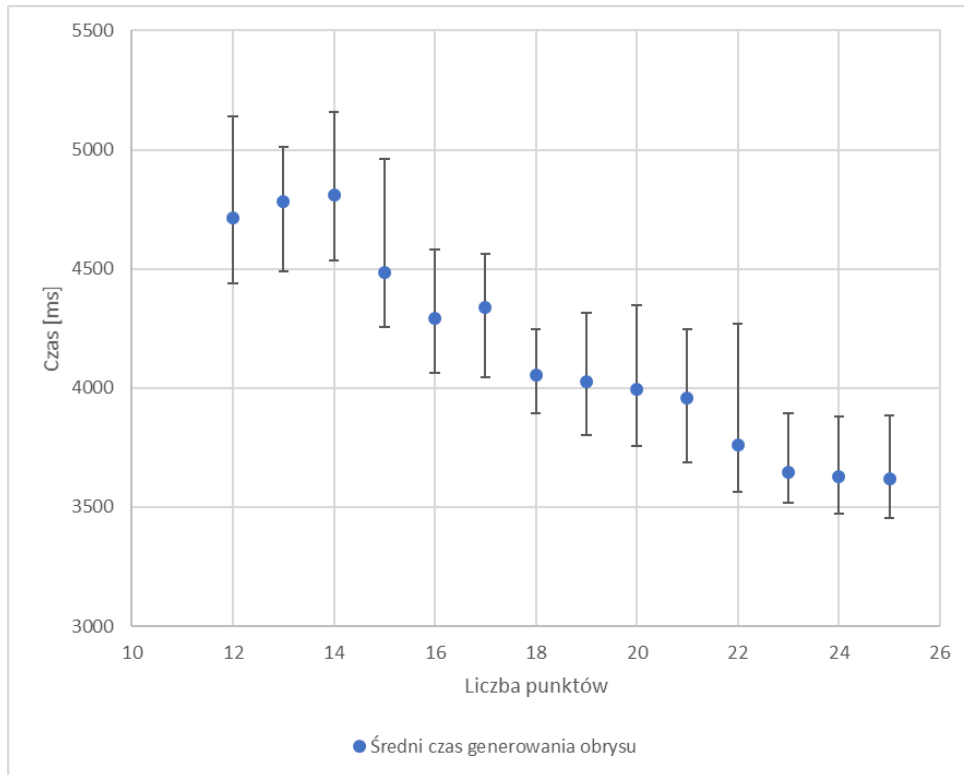
#### 4.3. WYDAJNOŚĆ ALGORYTMU PÓŁAUTOMATYCZNEGO



Rysunek 4.7: Czasy generowania obrysu półautomatycznego kości ramiennej w zależności od ilości punktów



Rysunek 4.8: Czasy generowania obrysu półautomatycznego barku w zależności od ilości punktów



Rysunek 4.9: Czasy generowania obrysu półautomatycznego barku w zależności od ilości punktów drugą metodą

brak widoczny na obrazie medycznym. W tym celu wstawiano kolejne punkty i obserwowało się, jakie były potrzebne na wygenerowanie obrysu. Wraz z kolejnymi punktami poprawiano generowany obrys. Wygenerowany obrys zaprezentowano na Rysunku 4.10. Czasy generowania zmalały prawie 2 krotnie, z poziomu około 4 s do około 2 s.

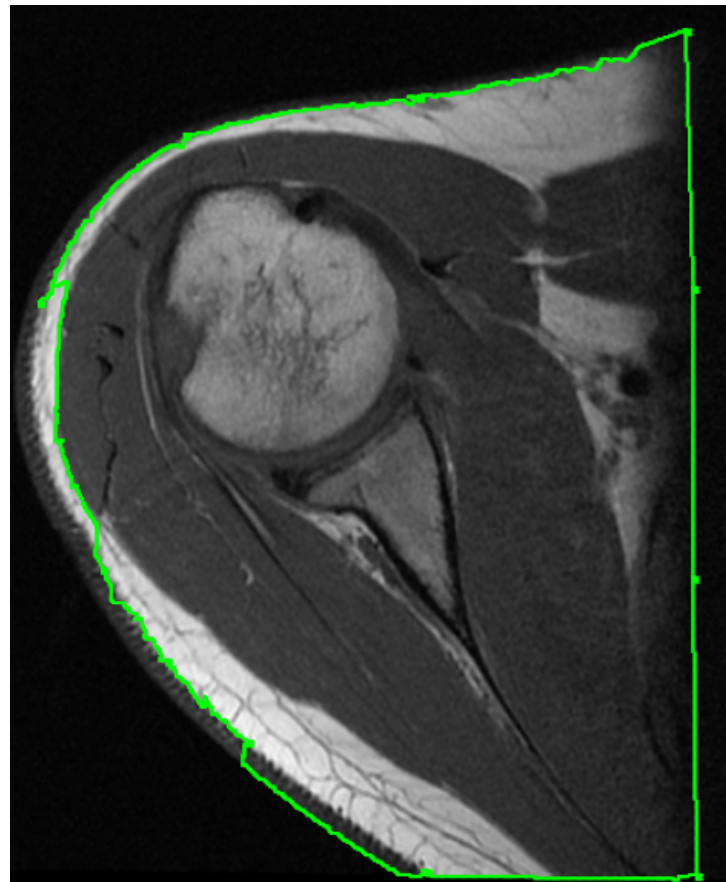
Na Rysunku 4.8 można zauważać czasami gwałtowne skoki w zmniejszającym się czasie potrzebnym na obliczenia. Mogło to być spowodowane faktem, że zmieniała się maksymalna odległość między kolejnymi punktami. Bliżej to zjawisko zostało opisane w podrozdziale 4.4.

Na Rysunku 4.9 przedstawiono wyniki trzeciego testu. Nie ingerowano we wspomnianą w podrozdziale 4.4 maksymalną odległość — tawianino gęsto kolejne punkty obok siebie na łuku. W ten sposób sprawdzano wpływ liczby uruchomień algorytmu A\*, poprzez zmianę liczby punktów, na czas obliczeń.

Uzyskane wyniki są bardzo podobne do poprzednich, choć bez wyraźnych skoków. Czas potrzebny na wygenerowanie obrysu nie spadł tak bardzo jak w drugim teście, ale spadek był zauważalny, z około 4,7 s do 3,7 s.

Wraz ze zwiększeniem się przestrzeni roboczej obrazu rośnie czas potrzebny na wygenerowanie obrysu. Na podstawie wykresów zależności czasu od liczby punktów można wysnuć wnioski, które zostaną zaprezentowane w podrozdziale 4.4.

#### 4.4. ANALIZA WYNIKÓW I WNIOSKI



Rysunek 4.10: Jeden z wygenerowanych obrysów w trakcie testów

#### 4.4. Analiza wyników i wnioski

Poniżej przedstawiono analizę wyników oraz wnioski z przeprowadzonych testów.

Zauważono, że gdy generujemy statystyki, to czas potrzebny na obliczenie statystyk zwiększał czas na realizację zapytania o około 30%. Wiązało się to z odwiedzeniem wszystkich punktów wewnętrz obrysu, co powodowało wydłużenie obliczeń.

Wraz ze zwiększaniem rozdzielczości zdjęcia, jak również ze zwiększeniem się obrysu na obrazach medycznych o wysokiej rozdzielczości, wzrastał proporcjonalnie czas potrzebny na wygenerowanie obrysu półautomatycznego. Dzieje się tak dlatego, że w algorytmie wykorzystano operator Sobela i Canny'ego, które wymagają odwiedzenia pewnej liczby pikseli, która odpowiednio się zwiększa. Dla mammografii średniej wielkości obrys był generowany nawet kilkadesiąt sekund. Dla większości obrysów czasy obliczeń nie przekraczały zakładanych 30 sekund w wymaganiach niefunkcjonalnych.

Wraz ze zwiększaniem liczby punktów zmniejszał się czas potrzebny na wygenerowanie obrysu półautomatycznego. Powodowały to dwa oddzielne zjawiska. Pierwsze z nich, to maksymalna

odległość pomiędzy kolejnymi dwoma punktami wybranymi przez użytkownika. W celu zapewnienia spójności grafu dodawano sztuczne krawędzie, o maksymalnej długości nieprzekraczającej maksymalnej odległości pomiędzy wcześniej wspomnianymi punktami. Im krótsza była to odległość, tym mniej było dodawanych sztucznych krawędzi. Dodawanie nowych krawędzi pomiędzy oddalonymi od siebie punktami oznaczało kilkukrotnie mniejszą liczbę przetwarzanych krawędzi przetwarzanych przez algorytm A\*. Drugim zjawiskiem odpowiedzialnym za zmniejszanie się czasu potrzebnego na wygenerowanie obrysu półautomatycznego, wraz z zwiększającą się liczbą punktów, był algorytm A\*. Początkowo przypuszczano, że zwiększenie liczby uruchomień algorytmu A\* wraz ze wzrostem liczby punktów będzie generował dodatkowy koszt obliczeniowy, a nie go redukował. Tak może się stać w pesymistycznym przypadku. W realnych obrysach wraz z dodawaniem kolejnych punktów w celu poprawienia jakości obrysu małała złożoność średnia, ponieważ algorytm A\* szybciej znajdował prawidłową ścieżkę. Algorytm A\* dzięki heurystyce pomijał bardzo dużą liczbę krawędzi, które na pewno nie polepszyłyby rozwiązania.

Wraz ze wzrostem liczby punktów wybranych przez użytkownika najczęściej malał czas potrzebny na wygenerowanie obrysu półautomatycznego. Czas dla większych obrysów maleje w sposób znaczący, dla małych obrysów w sposób niezauważalny. Dzieje się tak dlatego, że operacje na grafach są tylko elementem obliczeń. W przypadku małych obrysów, dominującą częścią obliczeń są operacje na przetwarzanym obrazie. Ponadto czasy obliczeń zawierają narzut czasowy wywołany przez przetwarzanie zapytań.

Na podstawie przeprowadzonych obserwacji zaleca się, aby użytkownicy unikali dużych obrysów, szczególnie na zdjęciach o wysokiej rozdzielczości rozdzielczości, czyli np. mammografiach abo zdjęciach rentgenowskich. Ponadto generowanie obrysów półautomatycznych działa zauważalnie lepiej dla zdjęć o ostrych krawędziach i o niskim szumie. W celu poprawienia zarówno jakości wykrywanego obrysu jak i wydajności czasowej przeprowadzanych w trakcie generowania obrysu obliczeń użytkownik powinien wybierać liczbę punktów rzędu kilkunastu punktów, co może mieć zauważalnie lepszą wydajność niż wybranie kilku punktów.



## 5. Podsumowanie

Cel pracy został osiągnięty. Spełniono wszystkie wymagania funkcjonalne i niefunkcjonalne, z wyłączeniem wymagania dotyczącego wydajności generowania obrysu półautomatycznego dla obrazów DICOM o dużej rozdzielczości (ponad 1000000 pikseli).

W trakcie pracy nad systemem napotkano różne problemy i ograniczenia, przede wszystkim związane ze specyfikacją obrazowych badań medycznych.

W interfejsie ograniczeniem okazał się dostępny rozmiar ekranu. Projektowanie aplikacji zakładało wykorzystanie ekranu o rozdzielczości 1920x1080, a więc ekranu panoramicznego. Niestety obrazy DICOM mają bardzo zróżnicowane układy — są obrazy kwadratowe, pionowe oraz poziome. Założenie, że ekran użytkownika jest ekranem 1920x1080 sprawia, że obrazy pionowe będą wyświetlane jedynie w niewielkiej części obszaru przeznaczonego dla obrazów. Jest to niestety ograniczenie, którego nie da się zlikwidować, gdyż przy założeniu rozdzielczości 1080x1920 powoduje analogiczny problem z obrazami poziomymi. Zaleca się skonfigurowanie aplikacji ze względu na rodzaj badań jakie będą występowały w systemie (MRI, RTG, MMG, itd.).

Podstawowym problemem występującym w trakcie implementacji rozwiązania było ustalanie kontraktów w warstwie komunikacyjnej. Ze względu na niewielką ilość akcji w komunikacji nie zdecydowano się na zastosowanie generatora kontraktów, ale zaleca się wprowadzenie takiego rozwiązania ponownie w trakcie dalszego rozwoju narzędzia. W zależności od złożoności komunikacji generator kontraktów może zdecydowanie usprawnić wprowadzanie zmian w aplikacji.

Podczas projektowania systemu zdecydowano, że obrazy DICOM będą wyświetlane w największej rozdzielczości umożliwiającej wyświetlenie całego obrazu na ekranie. W związku z tym, większość obrazów wyświetlona jest w rozmiarze różnym od faktycznego rozmiaru obrazu. Rozważano dwie możliwości rozdzielczości wykonywanych obrysów: realne wymiary obrazu oraz rozmiary obrazu wyświetlonego na ekranie. Zdecydowano, że obrys powinny być zapisywane w wymiarach identycznych realnym rozmiarom obrazu. Decyzja została uzasadniona potrzebą zapewnienia poprawnego obliczania statystyk. Zapisywanie obrysów w takich wymiarach ułatwia obliczanie liczby pikseli wewnątrz obrysu.

Ze względu na złożoność algorytmu używanego do wyznaczania obrysu półautomatycznego wykonywanie obrysów półautomatycznych w obrazach o dużej rozdzielczości przekracza dwukrot-

nie dopuszczalny czas 30 sekund. Czas obliczeń można poprawić poprzez ograniczenie obszaru, w którym wykrywane będą krawędzie, ale nie rozwiąże to problemu z wykonywaniem obrysów o wymiarach zbliżonych do pełnych wymiarów obrazu.

Podczas pracy nad narzędziem rozważano dodatkowe funkcjonalności, które nie zostały poruszone w tej pracy. Są one potencjalnymi możliwościami rozwoju narzędzia stworzonego w ramach tej pracy. Funkcjonalności opisano szczegółowo poniżej.

W obecnej wersji systemu nie zaimplementowano deskryptorów kształtu obrysu. Zimplementowanie takich deskryptorów mogłoby dostarczyć dodatkowych informacji na temat wykonanych przez użytkownika obrysów. Taka informacja może w przyszłości dostarczyć dodatkową zmienną, którą można by wykorzystywać w celu trenowania sztucznej inteligencji w zautomatyzowanym wykrywaniu organów, jak również wykrywaniu i sugerowaniu niepokojących zmian.

W tej wersji w systemie użytkownicy nie są rozróżnialni. Dodanie użytkowników pozwoliłoby na segregowanie tworzonych obrysów i wyświetlanie użytkownikowi obrysów wykonanych jedynie przez niego samego, a nie wszystkich obrysów istniejących w systemie. Z punktu widzenia użyteczności systemu użytkownik nie musiałby szukać swojego obrysu pośród obrysów innych użytkowników systemu.

Uwierzytelnianie zapobiegłoby również niepowołanemu dostępowi osób postronnych do wykonanych obrysów oraz uniemożliwiłoby ataki typu DoS. W obecnej wersji można poprzez wysyłanie dużej liczby zapytań związanych z generowaniem obrysów półautomatycznych doprowadzić do niedostępności przeprowadzania akcji na serwerze. System jest również podatny na złośliwe działanie mające na celu zapełnienie całej dostępnej serwerowi przestrzeni dyskowej, które może zostać wywołane przez wysłanie dużej liczby zapisów obrysów manualnych.

Z punktu widzenia użytkownika interesujące mogą być informacje wyliczone przez system na temat wykonanych przez niego obrysów. W obecnej wersji systemu, jeśli użytkownik chciałby takie informacje zapisać musiałby samodzielnie przepisać dane wyświetlane w widoku szczegółów obrysu. Zautomatyzowanie takiej funkcjonalności mogłoby zaoszczędzić użytkownikowi wiele czasu.

Głównym celem wykonywania obrysów na obrazach medycznym jest generowanie zbioru testowego dla różnych metod sztucznej inteligencji mających na celu sugerowanie lekarzom niepokojących zmian wykrytych automatycznie. W związku z tym użytecznym rozszerzeniem funkcjonalności systemu byłoby zintegrowanie go z modułem sztucznej inteligencji i umożliwienie obrysowywania wgrywanych obrazów metodami sztucznej inteligencji opartych na obrysach wykonanych przez użytkownika.



## Bibliografia

- [1] Abramov D. and the Redux documentation authors: ReduxJs <https://redux.js.org/> [Dostęp 23 lutego 2019]
- [2] Albahari J., Albahari B.: C 6.0 w pigułce, *Helion, O'Reilly Media, Inc.*, Gliwice, page–page, 2016
- [3] Bresenham J. E.: Algorithm for computer control of a digital plotter. *ICM System Journal* 4(1) 1965
- [4] Bródka J.: Wykłady z przedmiotu Algorytmy i Struktury Danych 2 *Politechnika Warszawska, Wydział Matematyki i Nauk Informacyjnych* Materiały dostepne na stronie: <http://mini.pw.edu.pl/~brodka/ASD2.html> [Dostęp 22 stycznia 2019]
- [5] Canny J. F.: Finding Edges and Lines in Images. *Technical report no. 720, Massachusetts Institute of Technology (MIT)*, Cambridge, Massachusetts, USA, 1983
- [6] Cytowski J., Gielecki J., Gola A.: Cyfrowe przetwarzanie obrazów medycznych: Algorytmy. Technologie. Zastosowania. *Akademicka Oficyna Wydawnicza EXIT*, Warszawa, 88–94, 2008
- [7] Facebook Inc.: Informacje o bibliotece ReactJS. Oficjalna strona: <https://reactjs.org/> [Dostęp 27 stycznia 2019]
- [8] Hafey C.: Dokumentacja projektu Cornerstone Core. Oficjalna strona: <https://docs.cornerstonejs.org/> [Dostęp 27 stycznia 2019]
- [9] Hart P. E., Nilsson N. J., Raphael B.: A Formal Basis for the Heuristic Determination of Minimum Cost Paths *IEEE Transactions on Systems Science and Cybernetics* 4(2), 100–107, 1968
- [10] ivmartel: Projekt DICOM Web Viewer. Oficjalna strona: <https://ivmartel.github.io/dwv/> [Dostęp 27 stycznia 2019]

- [11] Kronis K., Uhanova M.: Performance Comparision of Java EE and ASP.NET Core Technologies for Web API Developmnet. *Applied Computer Systems 23, Riga Technical University*, Ryga, 37–44, 2018
- [12] Microsoft Corporation: Dokumentacja platformy .NET. Oficjalna strona: <https://docs.microsoft.com/pl-pl/dotnet/> [Dostęp 22 stycznia 2019]
- [13] Microsoft Corporation: Dokumentacja rekomendowanych struktur danych platformy .NET. Oficjalna strona: <https://docs.microsoft.com/pl-pl/dotnet/standard/collections/> [Dostęp 22 stycznia 2019]
- [14] Microsoft Corporation: Informacje o platformie .NET Core. Oficjalna strona: <https://docs.microsoft.com/pl-pl/dotnet/core/about> [Dostęp 22 stycznia 2019]
- [15] Microsoft Corporation: Informacje o platformie ASP.NET Core. Oficjalna strona: <https://docs.microsoft.com/pl-pl/aspnet/core/?view=aspnetcore-2.2> [Dostęp 22 stycznia 2019]
- [16] Mozilla and individual contributors: Dokumentacja HTMLCanvasElement. Oficjalna strona: <https://developer.mozilla.org/en-US/docs/Web/API/HTMLCanvasElement/> [Dostęp 27 stycznia 2019]
- [17] National Electrical Manufacturers Association: Standard DICOM. Oficjalna strona: <https://www.dicomstandard.org/> [Dostęp 22 stycznia 2019]
- [18] Nowacki R., Plechawska-Wójcik M.: Analiza porównawcza narzędzi do budowania aplikacji Single Page Application — AngularJS, ReactJS, Ember.js, *Journal of Computer Sciences Institute 2, Politechnika Lubelska, Instytut Informatyki*, Lublin, 98–103, 2016
- [19] Osimis S.A.: Projekt Orthanc. Oficjalna strona: <https://www.orthanc-server.com/> [Dostęp 27 stycznia 2019]
- [20] Osimis S.A.: Instrukcja korzystania z REST API Orthanc. Oficjalna strona: <http://book.orthanc-server.com/users/rest.html> [Dostęp 23 lutego 2019]
- [21] Rosenfeld A., Kak A. C.: Digital Picture Processing, *Academic Press, Inc.*, Nowy Jork, 1982
- [22] Saeed K., Rybnik M., Tabędzki M., Adamski M.: Algorytm do Ścieniania Obrazów: Implementacja i Zastosowania *Zeszyty Naukowe Politechniki Białostockiej 2002 Informatyka - Zeszyt 1*, Białystok, 2002

## BIBLIOGRAFIA

- [23] Saeed K., Tabędzki M., Rybnik M., Adamski M.: K3M: A Universal Algorithm for Image Skeletonization and a Review of Thinning Techniques *International Journal of Applied Mathematics and Computer Science*, 2010, 20(2) Białystok, 317–335, 2010
- [24] Sedgewick R., Wayne K.: Algorytmy Wydanie IV, *Helion*, Gliwice, 526–706, 2012
- [25] Sobel I., Feldman G.: An 3x3 Isotropic Image Gradient Operator for Image Processing. *Presentation at Stanford Aartificial Intelligence Project (SAIL) in 1968*, 2014
- [26] Weisstein, Eric W.: Moore Neighborhood. *From MathWorld—A Wolfram Web Resource*.  
<http://mathworld.wolfram.com/MooreNeighborhood.html> [Dostęp 22 stycznia 2019]



## Instrukcja instalacji

W celu instalacji serwera Orthanc należy otworzyć stronę <https://www.orthanc-server.com/download.php>, pobrać wersję odpowiednią dla używanego systemu operacyjnego, a następnie postępować zgodnie z instrukcjami wyświetlonymi podczas instalacji. W celu uzyskania szczegółowych informacji odnośnie konfiguracji należy zapoznać się z dokumentacją znajdującą się na stronie <http://book.orthanc-server.com/users/cookbook.html>

W celu instalacji serwera obrysów i aplikacji webowej należy skopiować pliki znajdujące się na płycie w folderach Web oraz DotNetProject na stację, na której aplikacje te zostaną uruchomione.

Do działania serwera obrysów wymagany jest .NET Core w wersji 2.2 lub nowszej. W celu instalacji .NET Core należy otworzyć stronę <https://dotnet.microsoft.com/download>, pobrać wersję odpowiednią dla używanego systemu operacyjnego, a następnie postępować zgodnie z informacjami wyświetlonymi w trakcie instalacji.

W celu konfiguracji serwera w pliku DotNetProject/Api/Properties/launchSettings.json należy wpisać w 24 linii wartość adresu i portu na którym serwer ma zostać udostępniony, jako wartość pola applicationUrl . Przykładowa poprawna wartość linii 24 to `applicationUrl": "https://localhost:5001",`.

Ponadto w pliku DotNetProject/Api/Startup.cs należy podać w linii 33 link pod którym dostępna jest aplikacja przeglądarkowa jako argument metody WithOrigins. Przykładowa poprawna wartość linii 24 to `builder => builder.WithOrigins("http://localhost:8080", "http://localhost:3000")`.

W celu uruchomienia serwera obrysów należy przejść do skopowanego folderu DotNetProject/API i wykonać w konsoli polecenie `$ dotnet build && dotnet run`.

Do działania aplikacji przeglądarkowej wymagany jest Node w wersji co najmniej 9.4 oraz yarn w wersji co najmniej 1.10.1, aby zainstalować Node.js należy udać się na stronę <https://nodejs.org/en/download/> i wybrać wersję odpowiadającą systemowi, z którego korzystamy. Postępować zgodnie ze wskazówkami instalatora. W celu instalacji yarn należy udać się na stronę <https://yarnpkg.com/en/docs/install> aby pobrać wersję odpowiadającą systemowi, na którym będzie uruchamiana aplikacja i uruchomić instalator.

W celu konfiguracji portu, na który będzie wystawiona aplikacja webowa należy ustawić od-

powiednią liczbę w 4 linii pliku Web/express.js. Przykładowa poprawna konfiguracja:

```
$ const portNumber = 3000;
```

Ponadto w celu konfiguracji aplikacji należy ustawić adresy do API serwera obrysów i serwera Orthanc w pliku Web/src/helpers/requestHelper.ts poprzez zmianę zawartości cudzysłówów w pierwszych dwóch linijkach pliku. Przykładowa poprawna konfiguracja:

```
export const orthancURL = "http://localhost:8042/";  
export const apiURL = "https://localhost:5001/";
```

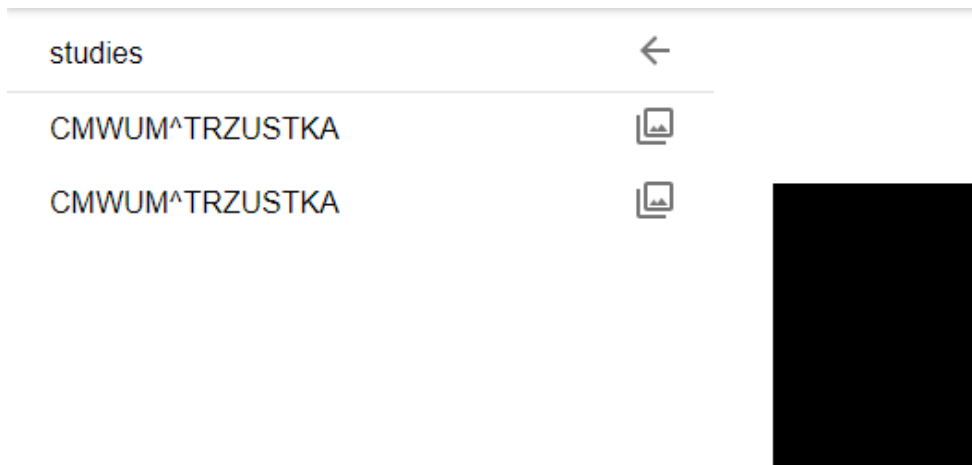
W celu uruchomienia aplikacji przeglądarkowej wchodzimy do folderu Web, w którym wykonujemy polecenie `$ yarn install && yarn prod`. Uwaga, tę komendę należy uruchomić w konsoli obsługującej skrypty w języku bash.

## Instrukcja użytkowania

DICOM contour		
patients		
Anonymized1	»	»
N/A	»	»
Mass-Test_P_00016_LEFT_CC	»	»
Mass-Test_P_00016_LEFT_MLO	»	»
Mass-Test_P_00017_LEFT_CC	»	»
Mass-Test_P_00017_LEFT_MLO	»	»
Sample patient name	»	»
Sample patient name	»	»
name	»	»
Tomka	»	»

Rysunek 5.1: Widok listy pacjentów

Po otwarciu aplikacji użytkownik może przeglądać pacjentów (patients), których badania zostały wgrane do serwera Orthanc — Rysunek 5.1.



Rysunek 5.2: Widok listy badań pacjenta

Po wybraniu pacjenta poprzez kliknięcie lewym przyciskiem myszy na jego nazwę, na liście pojawiają się badania (studies) wybranego pacjenta. Użytkownik może wrócić do widoku pacjentów klikając w strzałkę na liście z badaniami — Rysunek 5.2.

## INSTRUKCJA UŻYTKOWANIA

series	<
t2_localizer_multi	
t2_blade_cor_mbh_fs	
PosDisp: [2] t2_blade_cor_mbh_fs	
t2_blade_tra_trigg_fs	
PosDisp: [3] t2_blade_tra_trigg_fs	
t2+t2_tse_tra_mbh_p2	
ep2d_diff_tra_b0_50_100_150_200_400_800_1200_tr	
ep2d_diff_tra_b0_50_100_150_200_400_800_1200_tr	
t1_fl2d_in_opp_ph_tra_mbh	
PosDisp: [9] t1_fl2d_in_opp_ph_tra_mbh	
t2_haste_cor_thin_slab_mbh_3mm	

Rysunek 5.3: Widok listy serii w badaniu

Po wybraniu badania poprzez kliknięcie lewym przyciskiem myszy na jego nazwę, na liście pojawiają się serie (series) wybranego badania. Użytkownik może wrócić do widoku badań, klikając w strzałkę na liście z seriami — Rysunek 5.3.

---

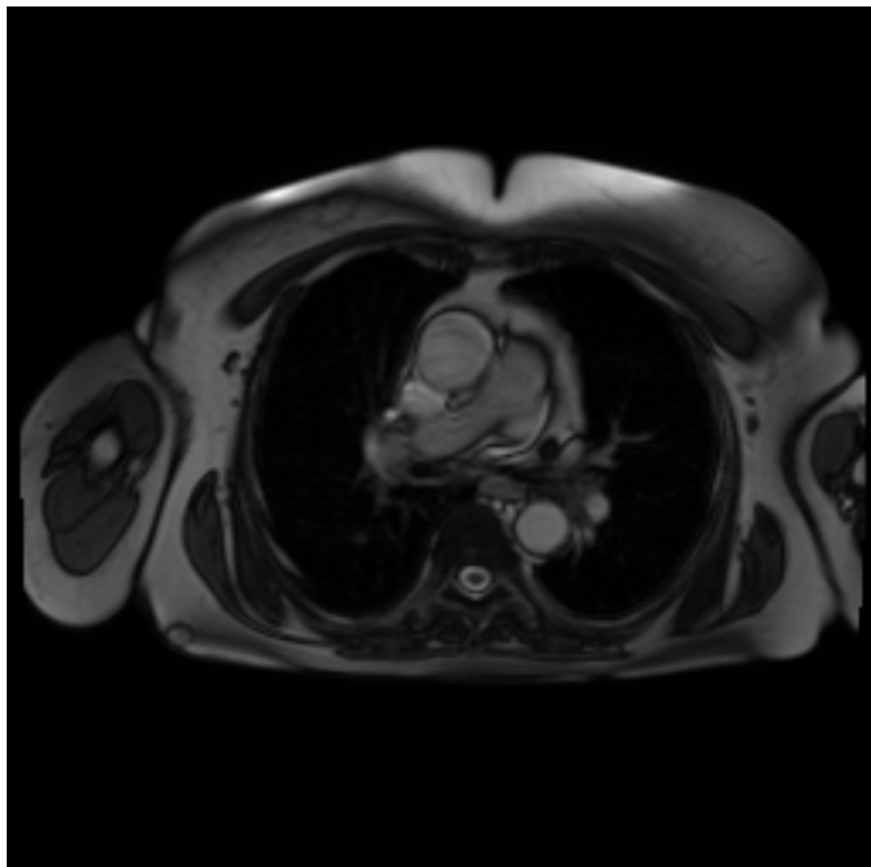
MANUAL

SEMI-AUTOMATIC

---

N/A/CMWUM^TRZUSTKA/t2\_localizer\_multi

7/15



SAVE CONTOUR

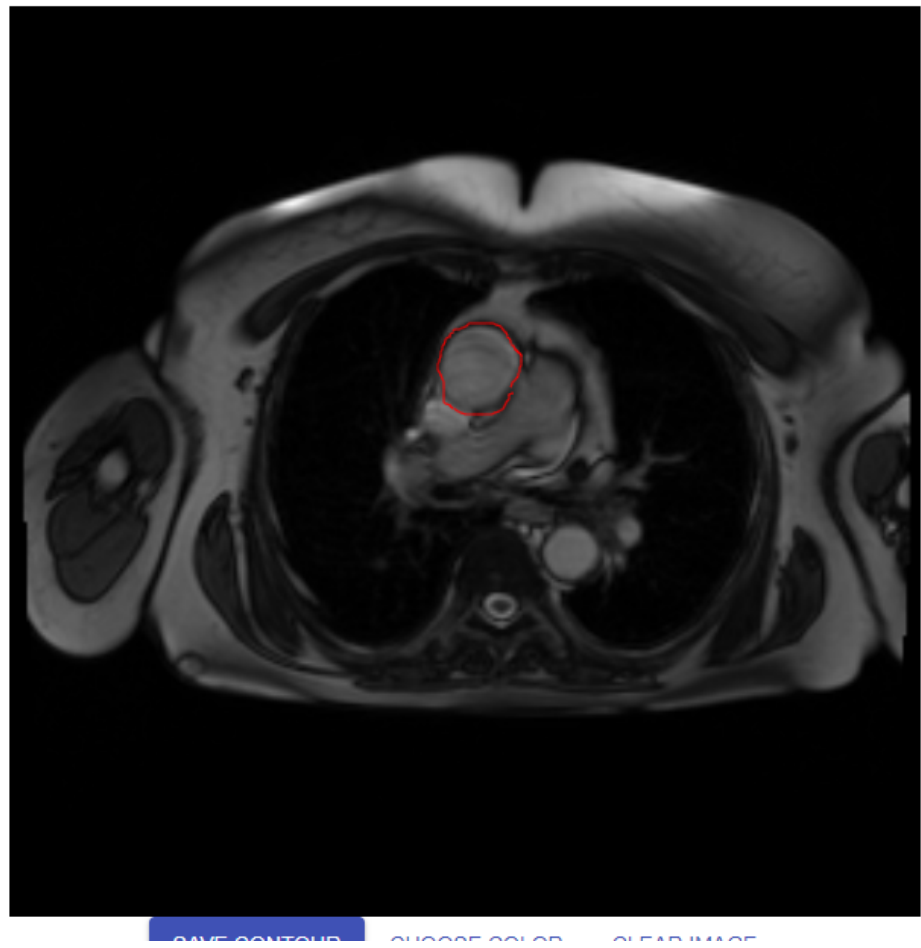
CHOOSE COLOR

CLEAR IMAGE

Rysunek 5.4: Wybrany obraz w module obrysów manualnego

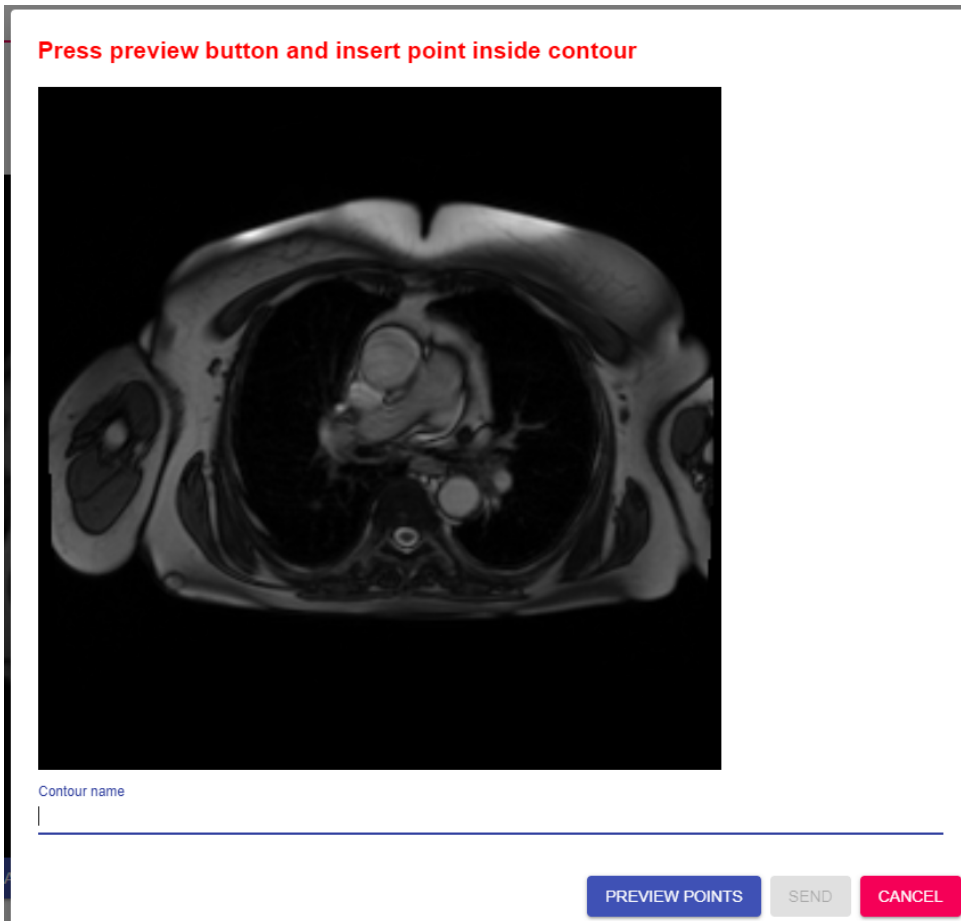
Po wyborze serii na ekranie pojawia się pierwszy obraz z serii. Użytkownik może przełączać się pomiędzy obrazami korzystając z listy obrazów po lewej stronie lub używając rolki myszy po najechaniu na obraz. Aby powrócić do wyboru serii należy kliknąć lewym przyciskiem myszy na strzałkę na liście instancji (instances) — Rysunek 5.4.

## INSTRUKCJA UŻYTKOWANIA



Rysunek 5.5: Przykładowy obrys

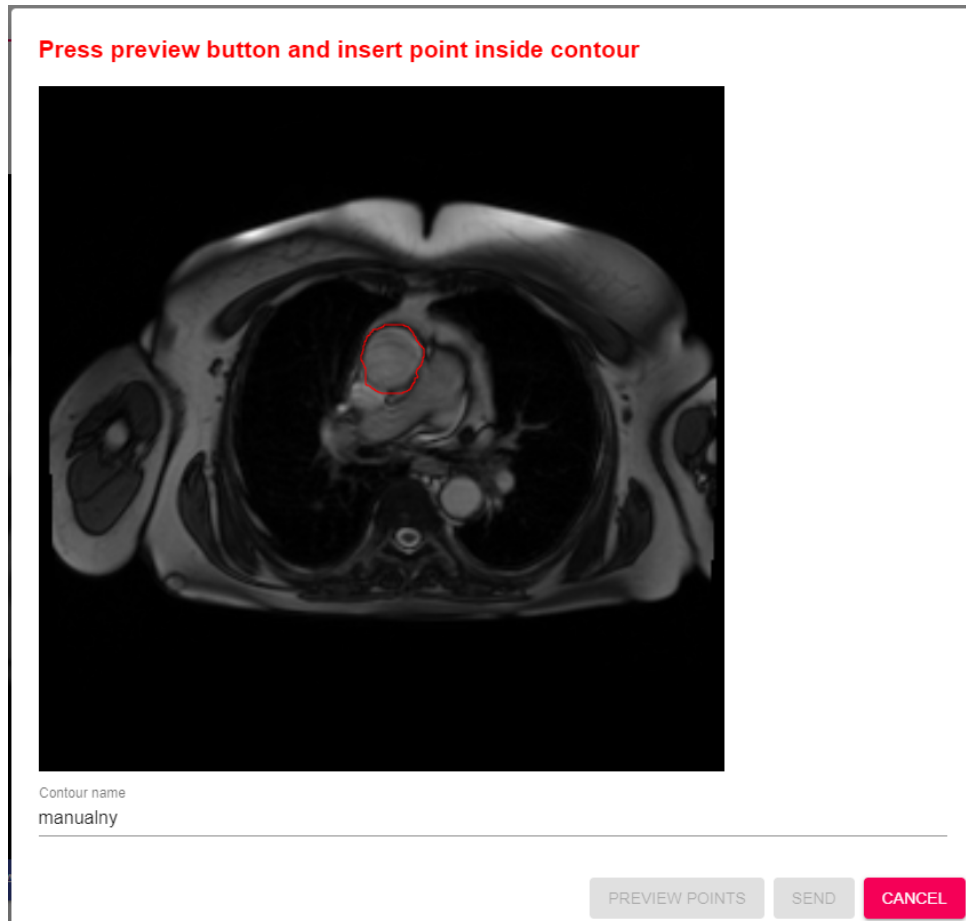
Przy manualnym obrysie użytkownik może wykonywać obrys poprzez przytrzymanie lewego przycisku myszy na obrazie, przesuwając mysz z wciśniętym przyciskiem. Gdy użytkownik korzysta z tabletu graficznego wystarczy, że będzie przesuwał wciśniętym rysikiem po tablecie — Rysunek 5.5.



Rysunek 5.6: Okno zapisu obrysu manualnego

Po wciśnięciu przycisku zapisz obrys (Save Contour), użytkownikowi ukazuje się okno dialogowe. W celu usunięcia nieudanego obrysu należy kliknąć lewym przyciskiem myszy w przycisk wyczyść obraz (Clear Image). W celu zapisania obrysu należy wykonać następujące kroki: Wpisać nazwę obrysu w pole tekstowe poniżej obrazu (pod napisem Contour Name) — 5.6.

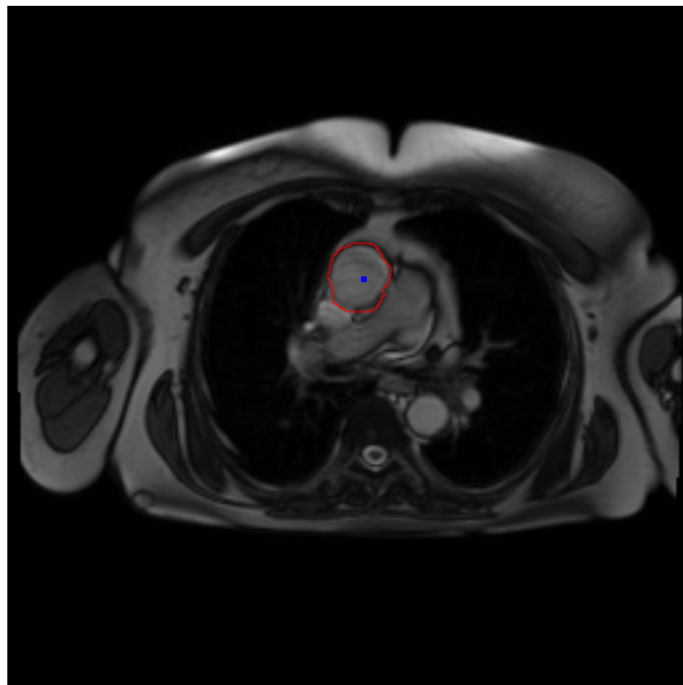
## INSTRUKCJA UŻYTKOWANIA



Rysunek 5.7: Podgląd wykonanego obrysu

Po wpisaniu nazwy, należy kliknąć przycisk podgląd punktów (Preview Points) lewym przyciskiem myszy. Pozwoli to użytkownikowi zobaczyć wykonany przez niego obrys — Rysunek 5.7.

**Press preview button and insert point inside contour**

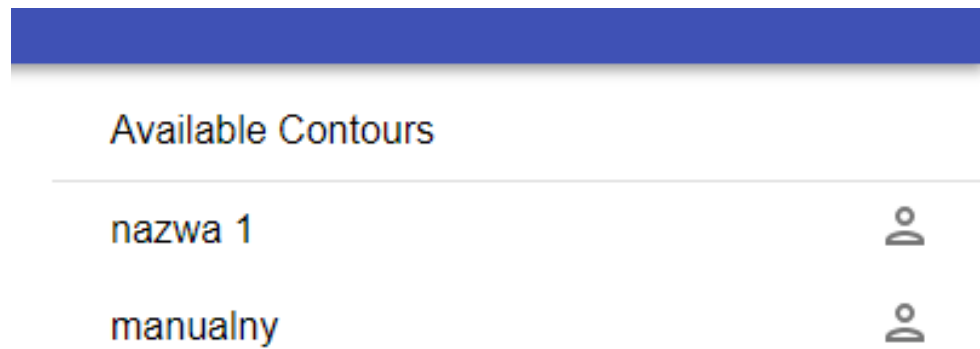


Contour name  
manualny

PREVIEW POINTS SEND CANCEL

Rysunek 5.8: Wybór punktu wewnętrz obrysu

Następną czynnością, którą musi wykonać użytkownik przed zapisaniem to wybranie punktu wewnętrz wykonanego obrysu, poprzez wcisnięcie lewego przycisku myszy w odpowiednim miejscu na obrazie — Rysunek 5.8.



Rysunek 5.9: Widok listy obrysów po zapisaniu obrysu manualnego

Po kliknięciu przycisku wyślij (Send) lewym przyciskiem myszy obrys zostaje zapisany i pojawia się na liście wykonanych obrysów (Available Contours). Lista zawiera jednie obrys dla oglądanego obrazu — Rysunek 5.9.

---

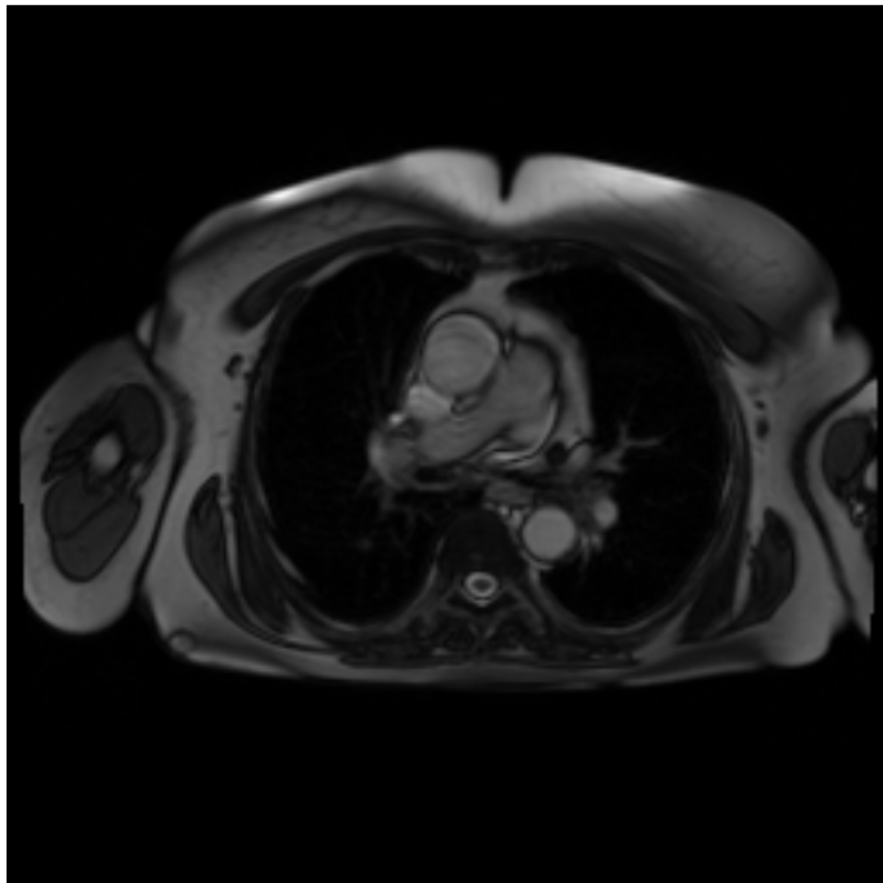
MANUAL

SEMI-AUTOMATIC

---

N/A/CMWUM^TRZUSTKA/t2\_localizer\_multi

7/15



PREVIEW CONTOUR

SAVE CONTOUR

CHOOSE COLOR

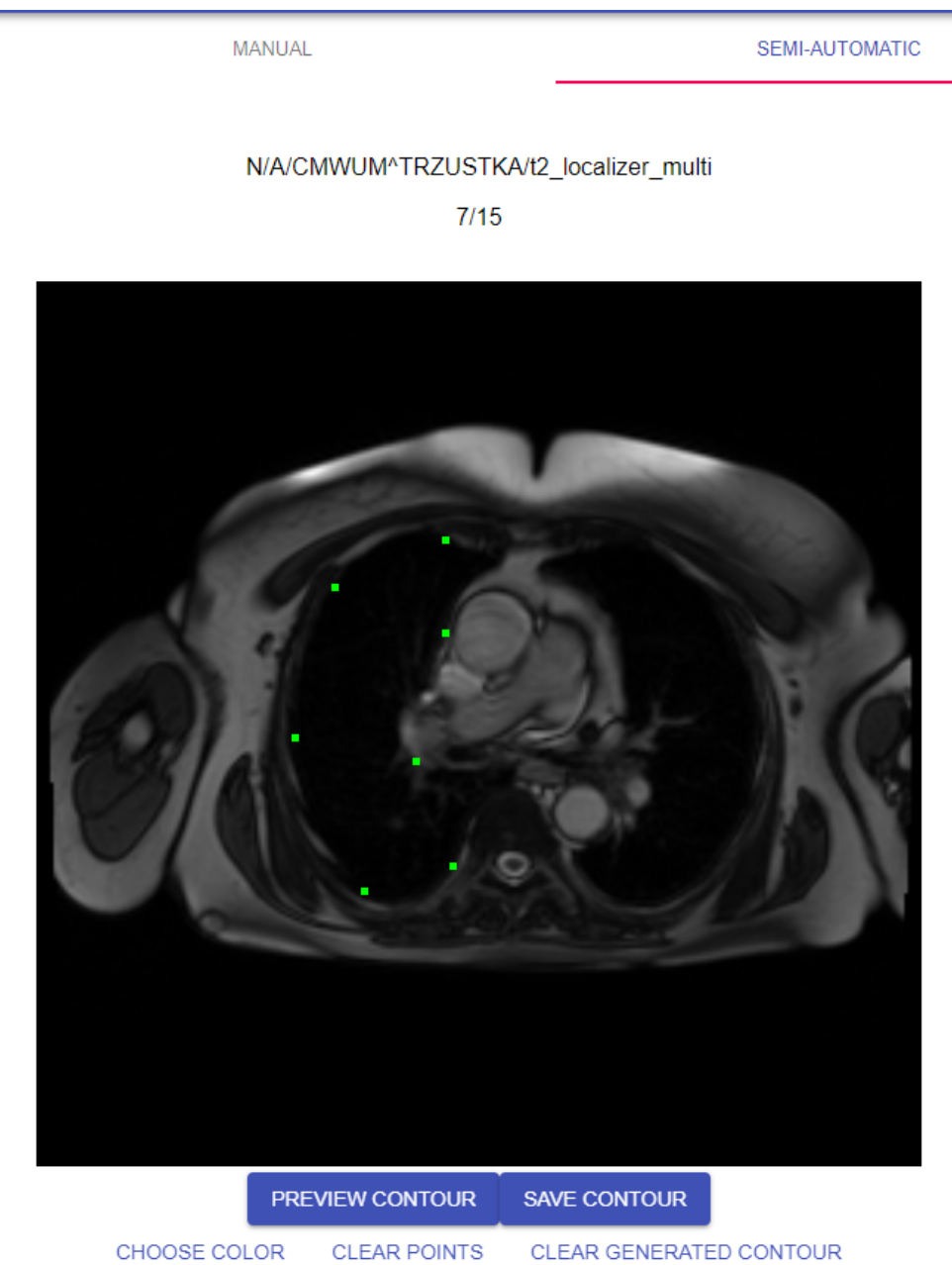
CLEAR POINTS

CLEAR GENERATED CONTOUR

Rysunek 5.10: Moduł obrysu półautomatycznego

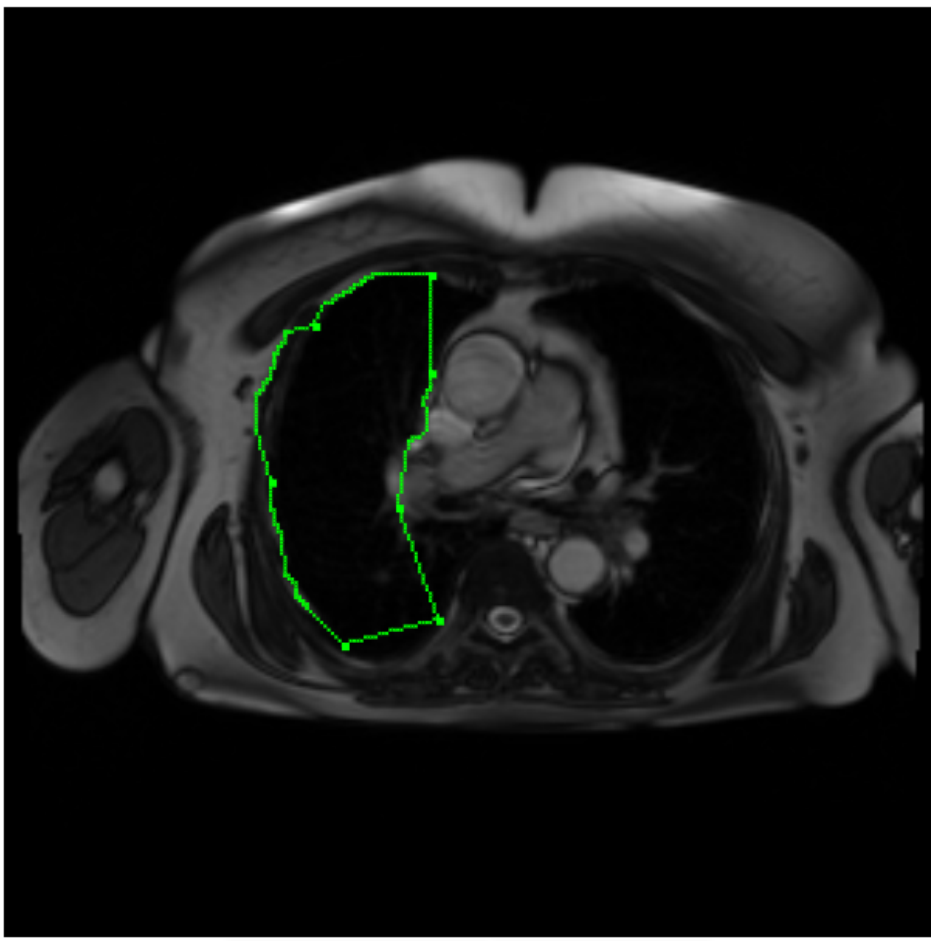
Użytkownik może wykonywać obrys w sposób półautomatyczny. W tym celu musi wybrać kartę z obrysami półautomatycznymi (z Manual do Semi-Automatic) — Rysunek 5.10.

## INSTRUKCJA UŻYTKOWANIA



Rysunek 5.11: Punkty wybrane do obrysu półautomatycznego

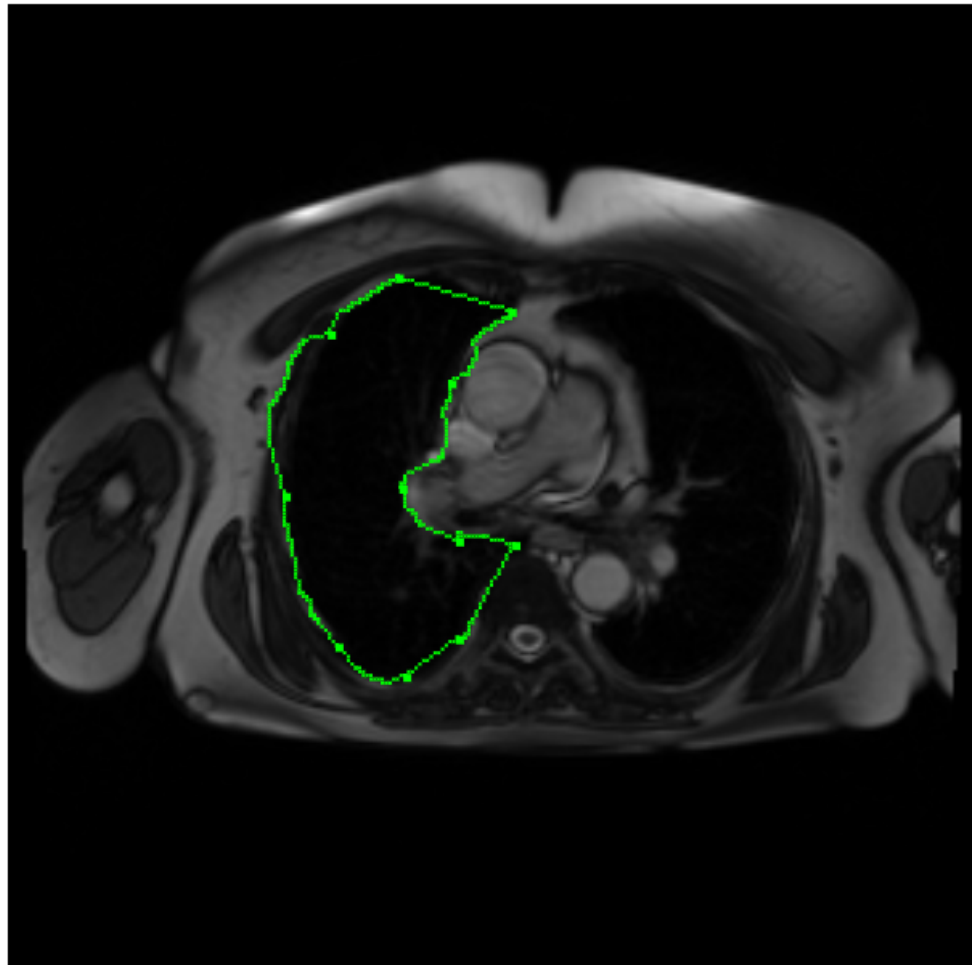
Aby wybrać punkty do obrysu półautomatycznego użytkownik powinien kliknąć w interesującego punkty lewym przyciskiem myszy. Jeśli korzysta z tabletu graficznego, powinien przycisnąć rysik do tabletu w interesujących go punktach. Punkty wprowadzane powinny być w kolejności, w której występują w obrysie, zgodnie albo przeciwnie do ruchu wskazówek zegara — Rysunek 5.11.



Rysunek 5.12: Podgląd obrysu półautomatycznego

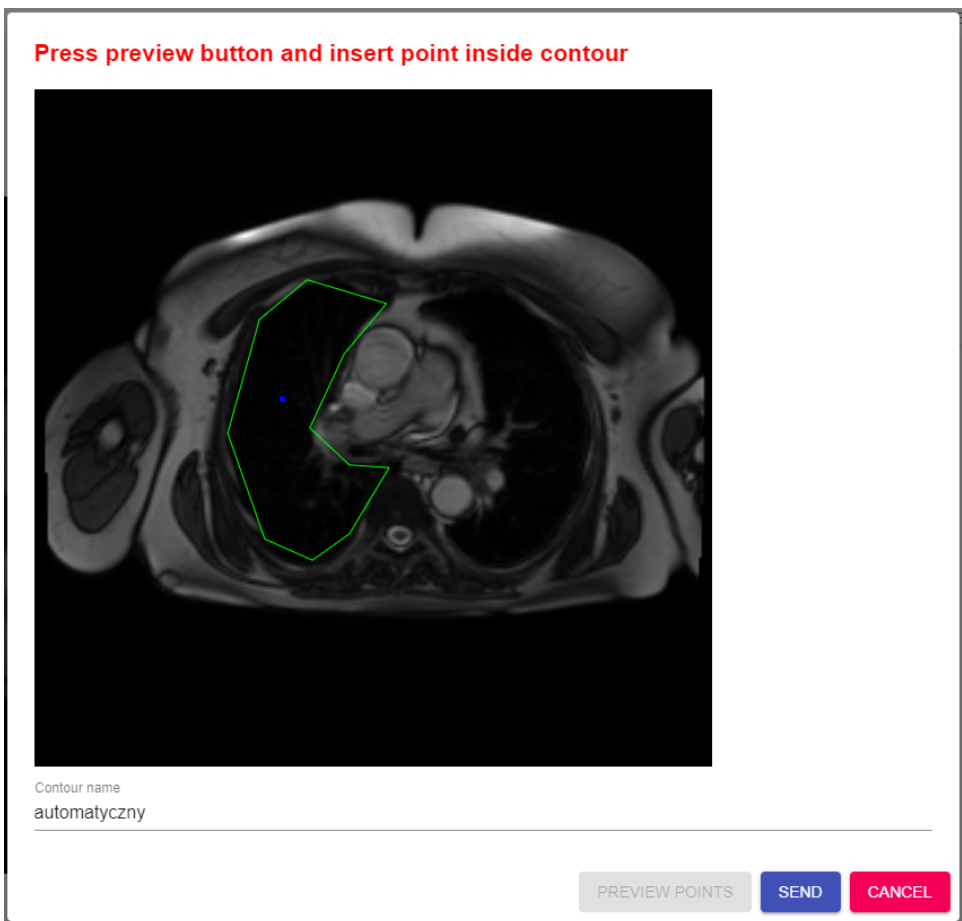
Po wciśnięciu przycisku podgląd obrysu (Preview Contour) użytkownik może zobaczyć wygenerowany przez algorytm obrys. — Rysunek 5.12.

## INSTRUKCJA UŻYTKOWANIA



Rysunek 5.13: Podgląd obrysu półautomatycznego po dodaniu nowych punktów

Jeśli algorytm popełnił błąd użytkownik może dodać nowe punkty klikając lewym przyciskiem myszy w interesujących go miejscach lub usunąć nietrafnie umieszczone punkty poprzez klikanie na nich lewego przycisku myszy — Rysunek 5.13.

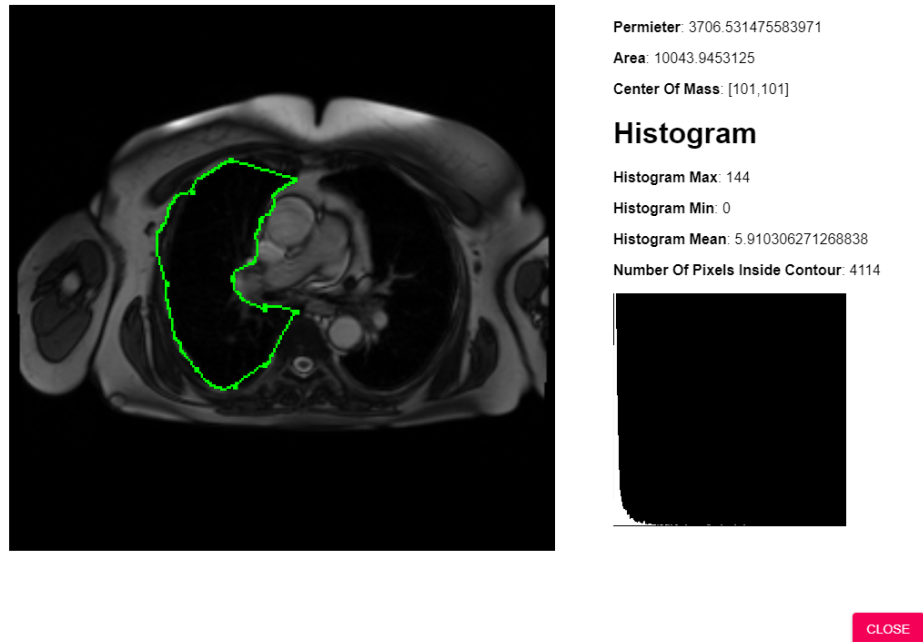


Rysunek 5.14: Widok zapisu obrysu półautomatycznego

Gdy wygenerowany obrys jest satysfakcjonujący dla użytkownika, może go zapisać klikając zapisz obrys (Save Contour). Okno zapisu jest analogiczne do okna zapisu obrysu manualnego. Jeśli na obrazie pojawią się krzyżujące krawędzie, należy wyczyścić obrys i wykonać go od początku, gdyż algorytm modyfikujący obrys dodał nowe punkty w złym miejscu lub użytkownik wprowadził punkty w złej kolejności — Rysunek 5.14.

## INSTRUKCJA UŻYTKOWANIA

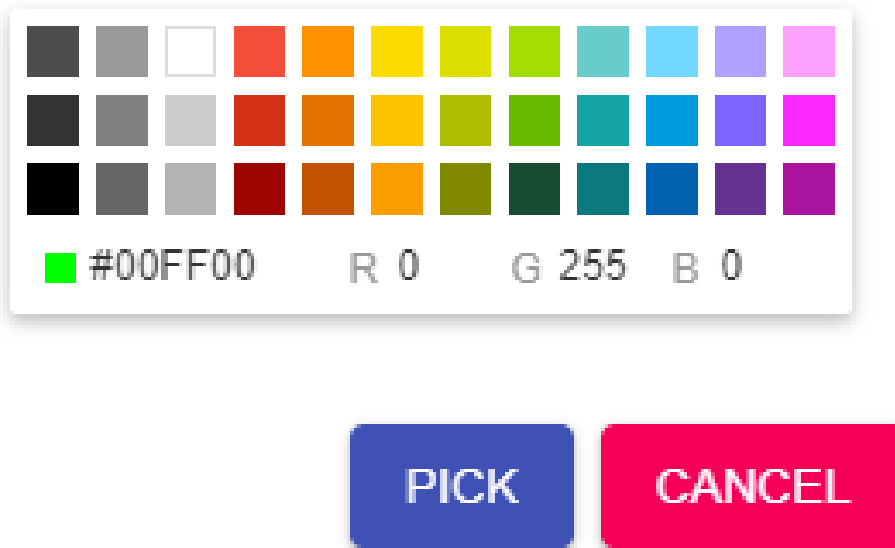
automatyczny



CLOSE

Rysunek 5.15: Podgląd statystyk obrysu

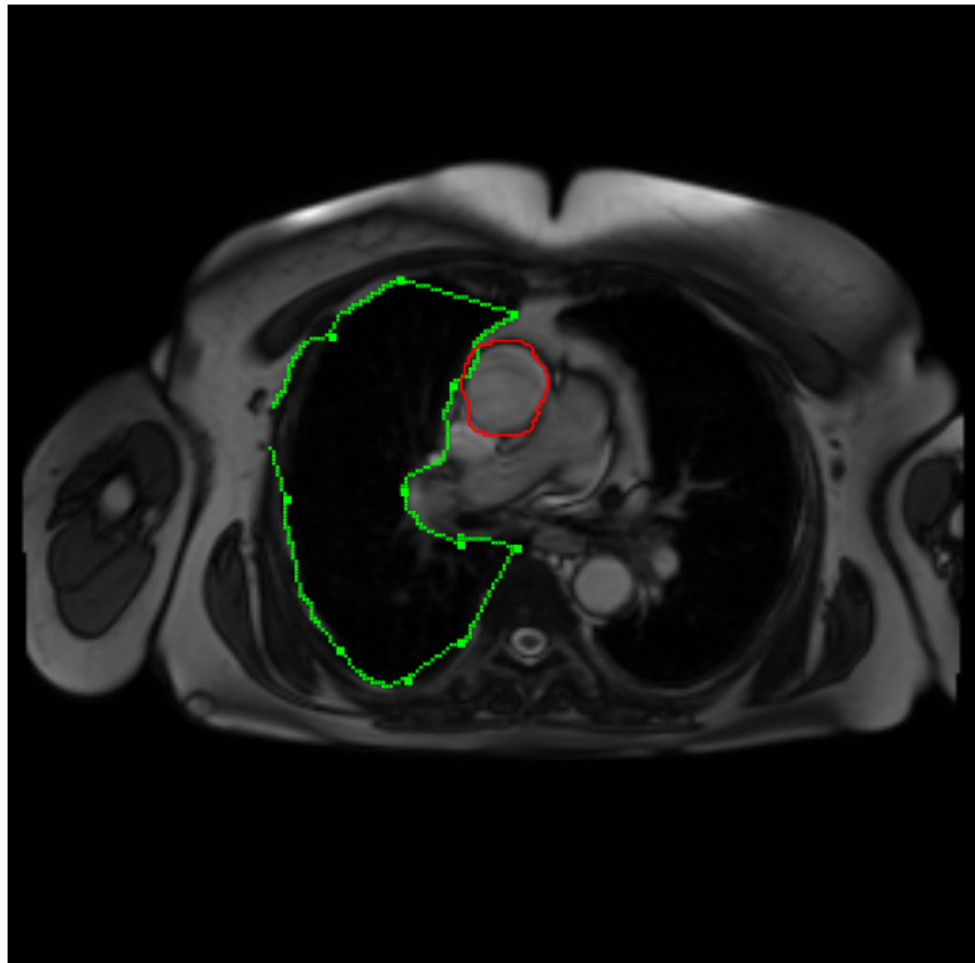
Po zapisaniu użytkownik może obejrzeć statystyki wykonanego obrysu poprzez kliknięcie lewego przycisku myszy na nazwie obrysu — Rysunek 5.15.



Rysunek 5.16: Widok wyboru koloru obrysu

Przed wykonaniem obrysu użytkownik może wybrać kolor wykonywanego obrysu. Po wciśnięciu lewym przyciskiem myszy na przycisk wybierz kolor (Choose Color), pojawia się okno wyboru koloru. Użytkownik może wybrać kolor z przygotowanej wcześniej palety kolorów lub wprowadzić dowolny inny korzystając z pól tekstowych, wprowadzając kod RGB wybranego koloru — Rysunek 5.16.

## INSTRUKCJA UŻYTKOWANIA



Rysunek 5.17: Widok wielu obrysów

W zakładce z podglądem obrysów użytkownik może wyświetlać wybrane przez niego obrysów z listy wykonanych obrysów. Użytkownik wybiera obrys, który chce zobaczyć. Obrys, który nie są aktualnie wyświetlane można dodać do obrazu klikając je lewym przyciskiem myszy na nazwie obrysu, a wyświetlane można wyłączyć również poprzez kliknięcie lewego przycisku myszy na nazwie obrysu — Rysunek 5.17.

**Name:** N/A

**Birthdate:** 19340608

**Sex:** F

**Institution Name:** N/A

**Referring Physician Name:** N/A

**Study Date:** 20161010

**Study Description:** CMWUM^TRZUSTKA

**Pixel Spacing:** 1.5625\1.5625

**Spacing Between Slices:** 32

**ANONYMIZE**

Rysunek 5.18: Widok szczegółów obrazu

Interfejs wyświetla również informacje dotyczące pacjenta i jego badania oraz wyświetlonego obrazu — Rysunek 5.18.

## INSTRUKCJA UŻYTKOWANIA

### Anonymize patient

Patient Name

N/A

Birthdate

19340608

Patient sex

F

**ANONYMIZE**

**CANCEL**

Rysunek 5.19: Anonimizacja danych pacjenta

Poprzez wciśnięcie przycisku anonimizuj (Anonymize) użytkownik może wybrać nazwę pacjenta, datę jego urodzenia oraz płeć po anonimizacji jego danych — Rysunek 5.19.



## Wykaz symboli i skrótów

- API — ang. Application Programming Interface — zestaw ściśle określonych reguł, poprzez które komunikują się ze sobą programy
- CRUD — ang. Create, Read, Update, Delete — utwórz, odczytaj, aktualizuj i usuń — cztery podstawowe funkcje w aplikacjach, które umożliwiają zarządzanie nią
- CSV — ang. Comma-Separated Values (w pracy użyte w kontekście formatu pliku)
- DoS — ang. Denial of Service — atak na system komputerowy mający na celu uniemożliwienie działania systemu
- DICOM — ang. Digital Imaging and Communications in Medicine — norma ujednolicająca wymianę i interpretację obrazowych danych medycznych
- HTML5 — ang. HyperText Markup Language 5 — język do tworzenia i prezentowania stron internetowych www
- HTTP — ang. Hypertext Transfer Protocol — protokół wymiany danych hipertekstowych
- HTTPS — ang. Hypertex Transfer Protocol Secure — szyfrowana wersja protokołu HTTP
- ID — ang. Identifier — unikalna nazwa przypisana do danego obiektu, pozwalająca rozróżniać obiekty w systemie
- JSON — ang. JavaScript Object Notation — lekki format wymiany danych, bazujący na podzbiorze języka JavaScript
- REST — ang. Representational State Transfer — styl architektury oprogramowania dla

systemów rozproszonych

- RGB — ang. Red, Green, Blue — model przestrzeni barw, opisanej współrzędnymi 3 barw podstawowych: czerwonej, zielonej i niebieskiej
- SDK — ang. Software Development Kit — zestaw narzędzi programistycznych niezbędny do tworzenia aplikacji korzystającej z danej biblioteki

## Spis rysunków

2.1 Przykład użycia aplikacji OHIF Viewer — oznazono: prostokątny obszar, dla którego obliczone zostały wybrane statystyki; odcinek, dla którego otrzymano odległość jednostkach rzeczywistych; wskaźnik, wskazujący na zmianę, posiadający etykietę tekstową . . . . .	17
2.2 Podgląd obrazu DICOM przy użyciu interfejsu przeglądarkowego Orthanc . . . . .	18
2.3 Przykład użycia aplikacji DWV - obrys półautomatyczny (Livewire) . . . . .	20
2.4 Interfejs wgrywania plików DICOM do serwera Orthanc . . . . .	20
2.5 Podgląd tagów pliku DICOM przy użyciu interfejsu przeglądarkowego Orthanc .	21
3.1 Diagram UML przedstawiający architekturę autorskiego systemu . . . . .	26
4.1 Widok badania rezonansem magnetycznym barku . . . . .	44
4.2 Widok zdjęcia rentgenowskiego barku . . . . .	44
4.3 Widok badania rezonansem magnetycznym kręgosłupa . . . . .	45
4.4 Widok badania tomografią komputerową kręgosłupa . . . . .	45
4.5 Przykładowy obrys manualny . . . . .	46
4.6 Przykładowy obrys półautomatyczny . . . . .	46
4.7 Czasy generowania obrysu półautomatycznego kości ramiennej w zależności od ilości punktów . . . . .	47
4.8 Czasy generowania obrysu półautomatycznego barku w zależności od ilości punktów . . . . .	47
4.9 Czasy generowania obrysu półautomatycznego barku w zależności od ilości punktów drugą metodą . . . . .	48
4.10 Jeden z wygenerowanych obrysów w trakcie testów . . . . .	49
5.1 Widok listy pacjentów . . . . .	61
5.2 Widok listy badań pacjenta . . . . .	62
5.3 Widok listy serii w badaniu . . . . .	63
5.4 Wybrany obraz w module obrysu manualnego . . . . .	64
5.5 Przykładowy obrys . . . . .	65

5.6	Okno zapisu obrysu manualnego . . . . .	66
5.7	Podgląd wykonanego obrysu . . . . .	67
5.8	Wybór punktu wewnątrz obrysu . . . . .	68
5.9	Widok listy obrysów po zapisaniu obrysu manualnego . . . . .	69
5.10	Moduł obrysu półautomatycznego . . . . .	70
5.11	Punkty wybrane do obrysu półautomatycznego . . . . .	71
5.12	Podgląd obrysu półautomatycznego . . . . .	72
5.13	Podgląd obrysu półautomatycznego po dodaniu nowych punktów . . . . .	73
5.14	Widok zapisu obrysu półautomatycznego . . . . .	74
5.15	Podgląd statystyk obrysu . . . . .	75
5.16	Widok wyboru koloru obrysu . . . . .	76
5.17	Widok wielu obrysów . . . . .	77
5.18	Widok szczegółów obrazu . . . . .	78
5.19	Anonimizacja danych pacjenta . . . . .	79

## **Spis tabel**

3.1 Spis wymagań niefunkcjonalnych . . . . .	25
----------------------------------------------	----

## **Spis zawartości załączonej płyty CD**

Do niniejszej pracy dyplomowej inżynierskiej została załączona płyta CD. W jej skład wchodzą:

- wersja elektroniczna pracy, której treść jest identyczna z powyższą w pliku **garsteckil-swierczewskit-praca-inzynierska.pdf**,
- strona tytułowa pracy w pliku **garsteckil-swierczewskit-strona-tytulowa.pdf**,
- streszczenie w języku polskim i angielskim w plikach o nazwach odpowiednio **garsteckil-swierczewskit-streszczenie.pdf** i **garsteckil-swierczewski-abstract.pdf**.

Kod źródłowy, który został podzielony na kilka katalogów:

- **DotNetProject/** - zawierający kod źródłowy głównego serwera aplikacji. Główne algorytmy odpowiedzialne za generowanie obrysów półautomatycznych znajdują się w podkatalogu **Logic/**,
- **Web/** - zawierający kod źródłowy aplikacji przeglądarkowej.

## Spis załączników

### 1. Załącznik 1 - Pseudokod generujący graf z bitmapy

```
1) MATRIX - macierz wejściowa z oznaczonymi krawędziami jako 1
2) foreach(punkt A taki, że MATRIX(A) == 1)
3) {
4)     if ( punkt A ma 1 sąsiada albo co najmniej 3 sąsiadów )
5)     {
6)         // (tzn. jest albo punktem końcowym albo węzłowym)
7)         wstaw punkt A do kolejki wierzchołków L_V
8)         while ( kolejka wierzchołków L_V niepusta )
9)         {
10)             weź wierzchołek V_1 z kolejki L_V
11)             usuń V_1 z kolejki L_V
12)             dodaj wierzchołek V_1 do grafu G
13)             foreach (punkt B sąsiadujący z V_1 )
14)             {
15)                 if ( MATRIX(B) == 1 )
16)                 {
17)                     stwórz nową krawędź E.
18)                     dodaj B do E
19)                     ustaw wierzchołek V_1 jako początek krawędzi E
20)                     dodaj krawędź E do kolejki przetwarzanych krawędzi L_E
21)                 }
22)                 while ( L_E niepusta)
23)                 {
24)                     weź krawędź E z L_E
25)                     usuń E z kolejki
26)                     stwórz kolejkę potencjalnych punktów krawędzi E, L_P
```

```

27)           weź punkt C z E
28)           usuń C z E
29)           dodaj punkt C do kolejki L_P
30)           while ( L_P niepusta )
31)           {
32)               weź punkt D z L_P
33)               usuń D z L_P
34)               K = liczba sąsiadów D
35)               if ( K == 0 lub K > 1 )
36)               {
37)                   stwórz wierzchołek V_2, który znajduje się w D
38)                   do listy krawędzi wierzchołka V_2 dodaj E
39)                   do listy krawędzi wierzchołka V_1 dodaj E
40)                   ustaw wierzchołek V_2 jako koniec krawędzi E
41)                   dodaj krawędź E do grafu G
42)                   dodaj wierzchołek V_2 do kolejki L_V
43)               }
44)               if ( K == 1 )
45)               {
46)                   dodaj punkt D do E
47)                   foreach ( punkt F sąsiadujący z D )
48)                   {
49)                       if ( MATRIX(F) == 1 )
50)                       {
51)                           dodaj F do L_P
52)                       }
53)                   }
54)               }
55)               MATRIX(D) = 1
56)           }
57)       }
58)   }
59)
60) }

```

## SPIS ZAŁĄCZNIKÓW

61) }

62) Zwróć graf G